

UNIVERSIDADE FEDERAL DE SANTA CATARINA
PROGRAMA DE PÓS-GRADUAÇÃO EM ENGENHARIA ELÉTRICA

UMA CONTRIBUIÇÃO AO ESTUDO DA
DINÂMICA DO GERADOR DE INDUÇÃO AUTO-EXCITADO
COM REGULADOR ESTATICO

DISSERTAÇÃO SUBMETIDA À UNIVERSIDADE FEDERAL DE SANTA CATARINA
PARA OBTENÇÃO DO GRAU DE MESTRE EM ENGENHARIA

JUAN EBEGARDO GUZMÁN CALDERÓN

FLORIANÓPOLIS, DEZEMBRO - 1983.

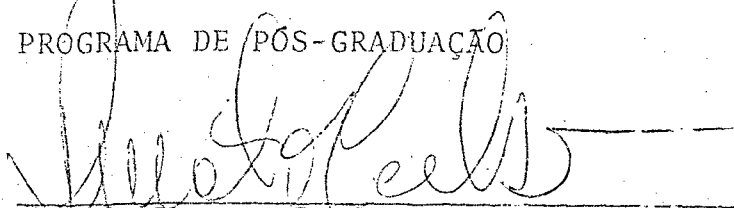
UMA CONTRIBUIÇÃO AO ESTUDO DA
DINÂMICA DO GERADOR DE INDUÇÃO AUTO-EXCITADO
COM REGULADOR ESTÁTICO

JUAN EBEGARDO GUZMÁN CALDERÓN

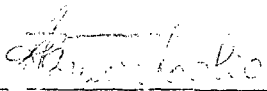
ESTA DISSERTAÇÃO FOI JULGADA ADEQUADA PARA OBTENÇÃO DO
TÍTULO DE

MESTRE EM ENGENHARIA

ESPECIALIDADE ENGENHARIA ELÉTRICA E APROVADA EM SUA
FORMA FINAL PELO PROGRAMA DE PÓS-GRADUAÇÃO

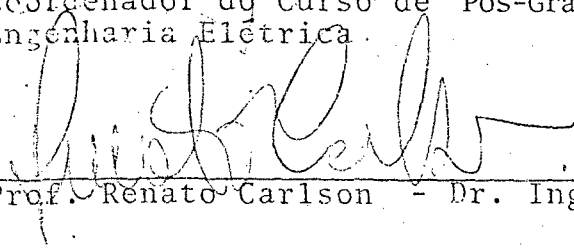


Prof. Renato Carlson
Orientador

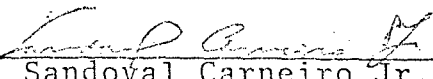


Prof. Augusto Humberto Bruciapaglia
Coordenador do Curso de Pós-Graduação em
Engenharia Elétrica

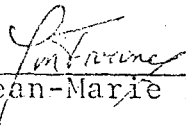
BANCA EXAMINADORA



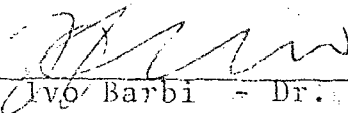
Prof. Renato Carlson - Dr. Ing.



Prof. Sandoval Carneiro Jr. - P.HD.



Prof. Jean-Marie Farines - Dr. Ing.



Prof. Ivó Barbi - Dr. Ing.

Aos GUEBÁN
CALDERÓN

AGRADECIMENTOS

- Ao professor Renato Carlson, pelo apoio e a orientação.
- Aos colegas e funcionários do departamento de Engenharia Elétrica
- A CAPES pela ajuda financeira.
- A família GRIMM pelo apoio e colaboração.

SUMÁRIO

CAPÍTULO	I	-	INTRODUCCIÓN	01
CAPÍTULO	II	-	PRINCÍPIOS DE FUNCIONAMENTO DO GERADOR DE INDUÇÃO AUTO-EXCITADO	04
	II.1	-	INTRODUÇÃO	04
	II.2	-	OPERAÇÃO DO GERADOR AUTO - EXCITADO	04
	II.3	-	FREQUÊNCIA GERADA	05
	II.4	-	REGULADOR ESTÁTICO DE REATIVOS	07
CAPÍTULO	III	-	DESCRIÇÃO E PROJETO DO G.I.R.E.	09
	III.1-		DETERMINAÇÃO DOS PARÂMETROS DO GERADOR DE INDUÇÃO	09
	III.2-		DETERMINAÇÃO DOS PARÂMETROS DE CARGA	..	12
	III.3-		DETERMINAÇÃO DOS PARÂMETROS DO REGULADOR ESTÁTICO DE EXCITAÇÃO	15
CAPÍTULO	IV	-	MODELAGEM DO G.I.R.E.	19
	IV.1-		INTRODUÇÃO	19
	IV.2-		MODELIZAÇÃO DA MÁQUINA ASSÍNCRONA	19
	IV.3-		OBTENÇÃO DAS CORRENTES A PARTIR DOS FLU- XOS	22
	IV.4-		REPRESENTAÇÃO DO SISTEMA ESTÁTICO DE EXCI- TAÇÃO E REGULAÇÃO	31
	IV.5-		REPRESENTAÇÃO DA CARGA	34
CAPÍTULO	V	-	ANÁLISE DO COMPORTAMENTO DINÂMICO DO G.I. R.E.	37
	V.1-		INTRODUÇÃO	37
	V.2-		ESCORVAMENTO	37

V.3-	APLICAÇÃO DE CARGA RESISTIVA	39
V.4-	VARIAÇÃO DO ÂNGULO DE DISPARO DOS TI- RISTORES DO REGULADOR ESTÁTICO	41
CAPÍTULO	VI - CONCLUSÕES E SUGESTÕES	47
APÊNDICE		49
REFERÊNCIAS BIBLIOGRÁFICAS		53

SIMBOLOGIA

f.e.m.	-	força eletromotriz
L_{eq}	-	indutor equivalente
B	-	susceptância
G	-	condutância
β	-	ângulo de meia condução dos tiristores
ω	-	velocidade angular de rotação
P_1	-	potência entregue pelo gerador
I_1	-	corrente da armadura
\bar{V}	-	tensão terminal da máquina
η	-	rendimento
R_1	-	resistência ôhmica do estator
R_2	-	resistência ôhmica do rotor
x_1	-	reatância de dispersão do estator
x_2	-	reatância de dispersão do rotor
B_0	-	susceptância de excitação
G_0	-	condutância de excitação
ϕ_{max}	-	ângulo máximo de defasamento tensão corrente da carga
X_c	-	reatância de carga
R_L	-	resistência de carga
L_L	-	indutância da carga
E	-	gerador síncrono sem inércia
Q_c	-	potência reativa do capacitor
Q_1	-	potência reativa da máquina assíncrona
B_β	-	potência reativa do indutor chaveado
Q_1	-	potência reativa da carga

Q_{co}	-	potência reativa a vazio do capacitor
Q_o	-	potência reativa a vazio da máquina
$Q_{\beta o}$	-	potência reativa a vazio do indutor
ω_o	-	velocidade angular a vazio
ω_r	-	velocidade angular do rotor
L_{β}	-	indutância do regulador estático de reator
C	-	capacitor do regulador estático de reator
λ	-	Entaxe de fluxo total
λ_m	-	fluxo de magnetização
ℓ_s	-	indutância de dispersão do estator
ℓ_r	-	indutância de dispersão do rotor
i_{sa}	-	corrente fase a do estator
i_{sb}	-	corrente fase b do estator
i_{sc}	-	corrente fase c do estator
i_{so}	-	corrente de seqüência zero do estator
i_{sd}	-	corrente do estator referida ao eixo direto do rotor
i_{sq}	-	corrente do estator referida ao eixo em quadratura
v_{sa}	-	tensão da fase a do estator
v_{sb}	-	tensão da fase b do estator
v_{sc}	-	tensão da fase c do estator
v_{so}	-	tensão de seqüência zero do estator
v_{sd}	-	tensão do estator referida ao eixo direto do rotor
v_{sq}	-	tensão do estator referida ao eixo esquerdo do rotor
λ_{sd}	-	fluxo do estator referida ao eixo direto do rotor
λ_{sq}	-	fluxo do estator referida ao eixo esquerdo do rotor
λ_{rd}	-	fluxo do rotor referido ao eixo direto do rotor
λ_{rq}	-	fluxo do rotor referido ao eixo esquerdo do rotor
i_{rd}	-	corrente do rotor referido ao eixo direto do rotor
i_{rq}	-	corrente do rotor referido ao eixo esquerdo do rotor

RESUMO

Neste trabalho apresenta-se um estudo por simulação digital do comportamento dinâmico de um gerador de indução excitado por capacitores em paralelo com indutores chaveados por tiristores. É apresentado o projeto de todos os elementos do dispositivo para uma dada máquina de indução. São dimensionados os capacitores de excitação e o indutor chaveado por tiristores; é fixada a carga máxima do gerador bem como seu fator de potência mínimo. O modelo matemático leva em conta o fenômeno de saturação magnético do núcleo, fundamental para a autoexcitação. Adotou-se uma transformação de variáveis que projeta as grandezas da armadura sobre dois eixos fixos no rotor. As equações de fluxo nos enrolamentos bem como as da carga e do dispositivo de regulação são resolvidas numericamente obtidas a cada passo resolvendo um sistema de quatro equações não lineares pelo método de Newton-Raphson. A simulação mostra o fenômeno de escorvamento do gerador com a evolução dos fluxos, correntes e tensões em função do tempo. Estuda-se o efeito dinâmico da aplicação súbita de plena carga, mostrando-se em particular em laço aberto mantendo fixo o ângulo de disparo dos tiristores. Finalmente verifica-se o efeito da variação do ângulo de disparo dos tiristores, com a máquina em plena carga, variando a excitação do mínimo ao máximo e suas consequências sobre os fluxos e tensões da máquina.

ABSTRACT

In this work the dynamic behavior of an induction generator excited by capacitors in parallel with thyristor-switched inductors is studied by means of digital simulation. The design of all elements of the system for a given induction machine is described. The excitation capacitors and the thyristor-switched inductors are dimensioned and the maximum charge of the generator is fixed, as well as its minimum power factor are estimated. The mathematical model takes into account the magnetic saturation of the core, which is essential for the self-excitation. A transformation of variables was adopted, which projects the armature quantities upon two axes fixed to the rotor. The flux linkage equations, and also equations for the load and the regulation system are solved numerically by the fourth-order Runge-Kutta method, and the currents at each step obtained by solving a system of four non-linear equations, following the Newton-Raphson method.

The simulation shows the generator buildup with the flux, currents and voltage evolution as a function of time. The dynamic effects of the sudden full load application is studied, particularly the voltage variations at the terminals. These investigations are carried out in open loop keeping the thyristors shoot angle constant.

Finally, the effects of varying the thyristor shoot angle upon the machine fluxes and voltages are described for the fully loaded machine.

CAPÍTULO I

INTRODUÇÃO:

A máquina de indução é utilizada em todos os campos de atividade desde a vida doméstica, tanto no ambiente rural como urbano, até as esferas industriais. Nestas o volume de uso é consideravelmente majoritário.

A descoberta do funcionamento da máquina de indução como gerador auto-excitado deu-se por acaso em instalações industriais dotadas de bancos de capacitores para correção de fator de potência. Nestas instalações, um rompimento do suprimento de energia elétrica externo deixava as máquinas de indução girando por efeito da inércia de suas cargas e com capacitores carregados conectados aos seus terminais. Nestas condições a instalação era alimentada por um curto período por estas máquinas funcionando como geradores.

Este fenômeno é conhecido de longa data, tendo sido publicado em 1935⁽¹⁾ por BASSET e POTTER um artigo estabelecendo as condições básicas para o funcionamento do gerador de indução excitado por capacitores. Em 1963 DOXEY⁽³⁾ expôs de forma mais detalhada a teoria e a aplicação do mesmo gerador.

Os maiores problemas do gerador de indução auto-excitado reside na regulação da tensão em seus terminais. Isto porque com capacitores fixos conectados aos seus terminais o gerador tem

uma regulação de tensão muito pobre.

SANDOVAL e CALDAS ^(16,19) propuseram um sistema de regulação de tensão por chaveamento de um pequeno número de capacitores em diferentes combinações. Com isto obtiveram uma melhor regulação de tensão, porém muito irregular, ainda que satisfatória para a aplicação a que se destinava.

CARLSON e SCHNEIDER ^(17,20) propuseram outra alternativa que apresenta a vantagem de possibilitar uma regulação contínua da tensão. Esta alternativa consiste na utilização de um compensador estático de reativos como o construído por SCHNEIDER ⁽¹⁵⁾ em sua dissertação de mestrado.

Trata-se nesta Dissertação de Mestrado da análise do comportamento dinâmico do gerador de indução trifásico excitado por um regulador estático de reativos (Gerador de Indução com Regulador Estático).

Desenvolver-se-á um modelo matemático para permitir a simulação dos principais fenômenos dinâmicos do gerador de indução auto-excitado com regulador estático de reativos. Dentre estes fenômenos selecionou-se três, quais sejam; escorvamento do gerador a vazio, aplicação de carga resistiva nominal com excitação fixa e variação brusca da excitação do gerador sob carga.

O sistema de regulação estática será tratado em malha aberta.

A figura I.1 mostra o esquema geral do dispositivo.

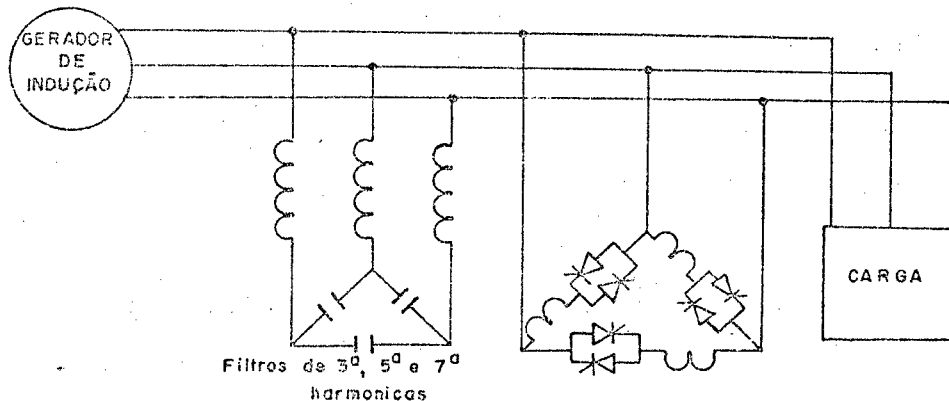


FIGURA I.1: Esquema Geral do G.I.R.E.

Este assunto foi abordado por DE MELO e HANNET⁽¹⁸⁾ porém de uma forma mais adequada ao tratamento de máquinas síncronas e sem evidenciar as características inerentes à máquina assíncrona.

O trabalho aqui desenvolvido apresenta como limitação a consideração de que a velocidade de rotação será mantida constante. Torna-se difícil, a esta altura do desenvolvimento do trabalho, estimar as características da máquina primária de acionamento do gerador, bem como de seus dispositivos de regulação.

O Trabalho apresenta-se como segue:

No capítulo II far-se-ã breves considerações sobre o funcionamento do gerador de indução auto-excitado.

No capítulo III far-se-ã o projeto do GIRE, levando em conta os parâmetros de uma máquina assíncrona de laboratório.

No capítulo IV será desenvolvido o modelo matemático do GIRE visando a obtenção de suas características dinâmicas.

Finalmente, no capítulo V serão analisados os resultados de simulação digital do modelo utilizado.

O capítulo VI apresentará as conclusões do trabalho.

CAPÍTULO II

PRINCÍPIOS DE FUNCIONAMENTO DO GERADOR DE INDUÇÃO AUTO-EXCITADO

II-1. Introdução

A excitação do gerador de indução pode ser feita de várias maneiras ⁽³⁾, entre elas:

- através de uma rede de energia elétrica à qual a máquina estiver conectada,
- através do chaveamento de capacitores;
- através do chaveamento de indutores em paralelo com um banco de capacitores.

As duas últimas formas tornam o gerador de indução auto-excitado, podendo funcionar em lugares distantes de uma rede de energia elétrica.

A excitação com reatores chaveados, além de ter a vantagem acima citada, supre o gerador de energia reativa de forma contínua.

II-2. Operação do Gerador Auto-excitado

Quando não se dispõe de uma rede de energia elétrica a energia reativa de excitação do gerador pode ser obtida de um banco de capacitores conectados aos terminais da máquina.

É necessário além disto que exista um fluxo remanente no circuito magnético do rotor da máquina.

Nestas condições, quando se fizer girar o rotor aparecerá nos terminais dos enrolamentos da armadura uma força eletromotriz induzida.

Esta f.e.m. aplicada aos terminais do banco de capacitores provocará a circulação de uma corrente adiantada em relação à mesma. Esta corrente por sua vez provocará o aumento do fluxo da máquina. Tem-se então o fenômeno de escorvamento, muito semelhante ao que ocorre em máquinas de corrente contínua com excitação em derivação.

O valor final da tensão nos terminais dos enrolamentos da armadura corresponde a interseção da curva de magnetização à vazio da máquina com a reta correspondente à reatância capacitiva conectada aos mesmos terminais, conforme mostra a figura II-3. na folha seguinte.

Observa-se do que acaba de ser descrito e do exame da figura II-3 que para ocorrer o escorvamento o valor da reatância capacitiva deve ser menor do que a reatância de magnetização da máquina não saturada.

Em vista disso e para melhorar a segurança de operação do dispositivo e possibilitar uma melhor regulação de tensão terminal o gerador assíncrono auto-excitado deve trabalhar mais saturado do que em operação normal como motor.

II-5. Frequência Gerada

A frequência gerada por um gerador de indução auto-excitado é proporcional à velocidade rotação menos o escorregamento (negativo neste caso).

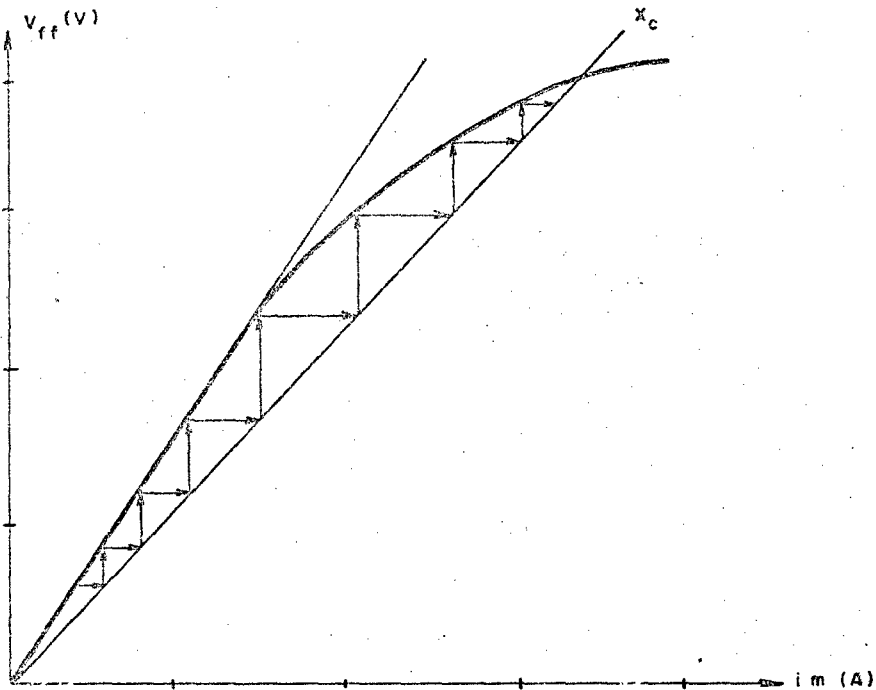


FIGURA II.1: Curva de Magnetização do Gerador Assíncrono.

A vazio, quando o escorregamento é praticamente nulo, a frequência é diretamente proporcional à velocidade do rotor.

Como o escorregamento aumenta com a carga, para manter a frequência constante a velocidade do rotor deve ser aumentada.

Normalmente regula-se a velocidade de rotação para que a mesma seja constante. Neste caso, pode-se fixar esta velocidade de tal forma que a frequência nominal ocorra a 3/4 da carga nominal. Desta forma, em plena carga a frequência seria ligeiramente inferior à nominal e a vazio um pouco maior do que esta.

II-4. Regulador Estático de Reativos⁽¹⁵⁾

Um indutor chaveado por tiristores em antiparalelo como é mostrado na figura II-2, sob o ponto de vista da fundamental, apresenta uma indutância equivalente expressa por:

$$L_{eq} = \frac{\pi L}{2\beta - \sin 2\beta} \quad (2.1)$$

(ver apêndice 1).

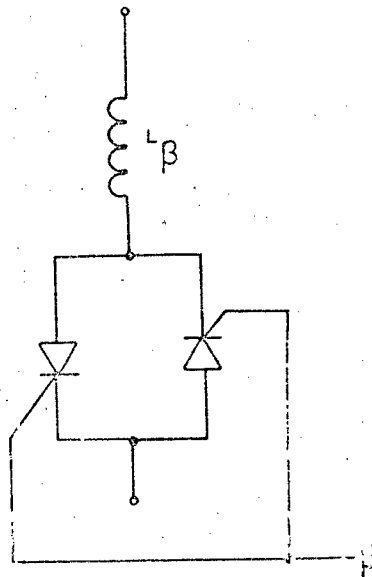


FIGURA II.2: Indutor Chaveado por Tiristores em Anti-Paralelo.

Sendo:

$$i_f = I_1 \cos \omega t$$

$$I_1 = -\frac{VM}{\pi \omega L} (2\beta - \sin 2\beta)$$

O indutor equivalente varia de indutância em função do ângulo de meia-condução dos tiristores, de acordo com a relação

acima.

Este dispositivo em paralelo com um capacitor (Figura II.3), apresenta uma susceptância B (capacitiva ou indutiva) cujo valor é dado por:

$$B = \omega C - \frac{2\beta - \text{sen } 2\beta}{\pi\omega L} \quad (2.2)$$

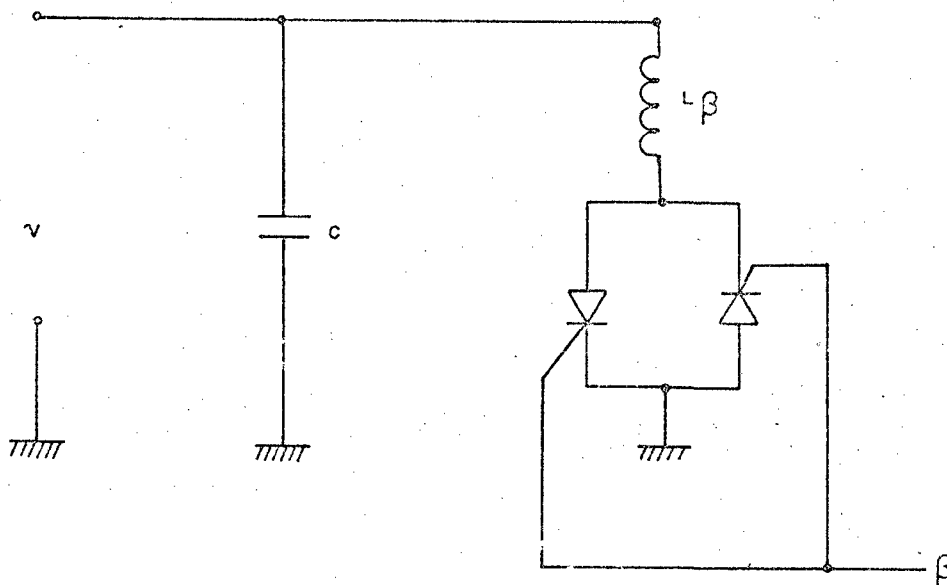


FIGURA II.3: Gerador Estático de Reativos

O dispositivo da Figura II.3 aplicado aos terminais do Gerador de Indução permitirá regular a tensão nos mesmos mediante uma ação sobre o ângulo β .

CAPÍTULO III

DESCRIÇÃO E PROJETO DO G.I.R.E.

III-1. Determinação dos Parâmetros do Gerador de Indução

Utilizou-se uma máquina assíncrona de rotor bobinado existente no Laboratório de Máquinas Elétricas e Eletrônica de Potência (L.A.M.E.P.) da UFSC.

As características da máquina são as seguintes:

- enrolamento da armadura conectado em estrela sem acesso ao neutro;
- rotor bobinado;
- quatro pólos;
- frequência: 60 Hz;
- potência nominal: 3,74 kw
- velocidade de rotação nominal: 1715 rpm;
- tensão de linha nominal: 380 v eficazes;
- corrente nominal: 8A.

Ensaio clássico com a máquina a vazio e com a máquina com rotor bloqueado forneceram os seguintes parâmetros:

$$\begin{aligned}
 R_1 &= 1,677\Omega; & x_1 &= 3,265\Omega \\
 R_2 &= 1,231\Omega; & x_2 &= 3,265\Omega \\
 G_0 &= 3,712 \times 10^{-4} & B_0 &= 19,958 \times 10^{-3}
 \end{aligned}$$

Estes parâmetros correspondem ao circuito equivalente clássico da máquina assíncrona mostrado na figura III-1.

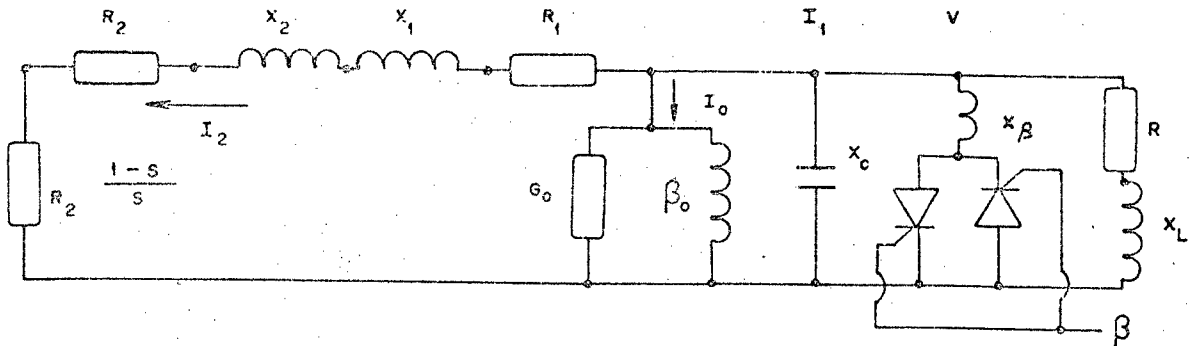


FIGURA III.1: Circuito Equivalente por Fase do G.I.R.E.

Do circuito equivalente pode-se obter a expressão da potência elétrica fornecida ao gerador pela máquina primária (2):

$$P = \frac{V_1^2 R_2}{\left(R_1 + \frac{R_2}{s}\right)^2 + (x_1 + x_2)^2} \left(\frac{1-s}{s}\right) \quad (3.1)$$

A máquina primária neste caso foi um motor de c.c., podendo obviamente ser uma turbina hidráulica ou um motor diesel.

É necessário considerar a potência P na expressão (3.1) como sendo negativa já que corresponde à energia que a máquina recebe através de seu eixo.

Fixou-se a frequência à potência nominal em 60 Hz.

Conhecendo-se a potência nominal pode-se deduzir o escorregamento correspondente:

$$s^2 \{V_1^2 R_2 - |P| |R_1^2 + (x_1 + x_2)^2|\} - s |2|P|R_1 R_2 + V_1^2 R_2| - |P|R_2^2 = 0 \quad (3.2)$$

Fazendo:

$$A = -|P| |R_1^2 + (x_1 + x_2)^2| + V_1^2 R_2$$

$$B = -2|P|R_1 R_2 - V_1^2 R_2$$

$$C = -|P|R_2^2$$

tem-se:

$$As^2 + Bs + C = 0 \quad (3.3)$$

Resolvendo esta equação tem-se:

$$s = -0,0296$$

A rotação da máquina correspondente à potência nominal é obtida da expressão (3.4).

$$s = \frac{\omega - \omega_r}{\omega} \quad (3.4)$$

Onde: $\omega \rightarrow$ velocidade angular síncrona (rad. eletr. por seg.)

$\omega_r \rightarrow$ velocidade angular do eixo (rad. eletr. por seg.)

Sendó: $\omega \cong 377$ rad. eletr./s.

então:

$$\omega_r \cong 388, \text{ rad. eletr./s}$$

ou $N_r \cong 1853$ r.p.m.

A corrente na armadura a plena carga é dada pela expressão (10) :

$$\bar{I}_1 = \bar{V} \left| (G_0 - jB_0) + \frac{1}{(R_1 + \frac{R_2}{s}) + j(x_1 + x_2)} \right| \quad (3.5)$$

Substituindo o escorregamento nominal e os parâmetros da máquina na expressão (3.5) obtém-se:

$$\bar{I}_1 = 7,43 \underline{-134,96}$$

Pode-se agora calcular a potência por fase entregue pelo gerador através de seus terminais:

$$P_1 = V_1 I_1 \cos \phi_1$$

ou

$$P_1 = -1155,7 \text{ W}$$

Observe-se que o gerador trabalha nestas condições com um fator de potência igual a:

$$\cos \phi_1 = -0,707$$

O rendimento nestas condições é de:

$$\eta = 92,70 \%$$

III-2. Determinação dos Parâmetros da Carga

Tendo em vista a potência ativa nominal do gerador e o futuro projeto do Regulador Estático de Reativos, fixar-se-á o fator de potência da carga nominal em :

$$(\cos \phi)_{\text{nom}} = 0,707$$

ou seja:

$$\phi_{\text{nom}} = \arccos (\cos \phi)_{\text{nom}} = 45^\circ$$

ou ainda:

$$\arctg \frac{X_L}{R_L} = 45^\circ$$

Onde X_L e R_L representam a reatância e a resistência de cargas nominais, respectivamente.

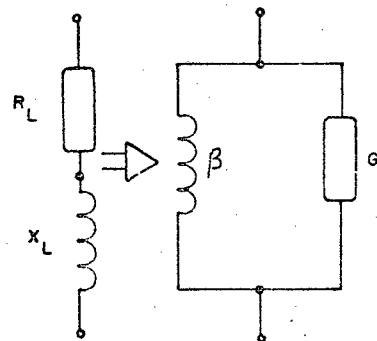
Logo:

$$\frac{X_L}{R_L} = 1$$

e

$$X_L = R_L$$

Para facilitar o desenvolvimento das expressões que permitirão o cálculo dos parâmetros da carga, esta será transformada em um circuito equivalente paralelo, como mostra a figura III.3



$$G = \frac{R}{R^2 + X_L^2}$$

$$B = \frac{X_L}{R^2 + X_L^2}$$

FIGURA III.3: Transformação Série-Paralelo da Carga.

Como:

$$X_L = R_L$$

tem-se:

$$G = \frac{1}{2R_L}$$

e

$$B = \frac{1}{2X_L}$$

ou:

$$G = B = \frac{1}{2R_L}$$

A potência dissipada na carga é, então:

$$P_L = V_1^2 G = \frac{V_1^2}{2R_L}$$

Esta potência é igual à potência ativa fornecida pelo gerador.

Logo:

$$V_1 I_1 \cos \phi_1 = \frac{V_1^2}{2R_L}$$

Logo:

$$R_L = \frac{V_1}{2I_1 \cos \phi_1}$$

Resultam daí os valores nominais da resistência e da indutância da carga:

$$R_L = 20,94 \, \Omega$$

$$L_L = 55,546 \, \text{mH}$$

III-3. Determinação dos Parâmetros do Regulador Estático de Excitação

O indutor chaveado por tiristores será modelizado para fins de análise e simulação pelo circuito da figura III.4, ^(12,13) onde considera-se que a presença dos filtros de 3a. e 7a. harmônicas no sistema justifica que leve-se em conta apenas os componentes fundamentais de tensão e corrente.

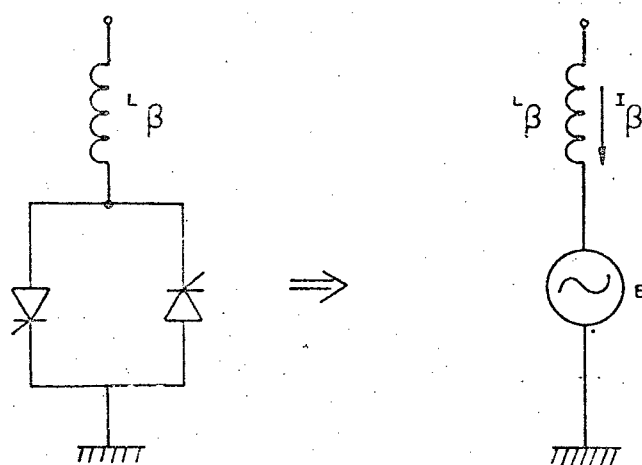


FIGURA III.4: Circuito Equivalente do Indutor Chaveado por Tiristores.

Nesta figura E representa um gerador síncrono ideal, sem inércia. A tensão E estará sempre em fase com V e relacionada a esta pela seguinte expressão:

$$E = V \cdot f(\beta) \quad (3.5)$$

onde:

$$f(\beta) = 1 - \frac{2\beta - \sin 2\beta}{\pi}$$

Assim:

$$V = \omega L_\beta I_\beta + E$$

ou:

$$I_{\beta} = \frac{1}{\omega L_{\beta}} (V-E) \quad (3.6)$$

ou ainda:

$$I_{\beta} = \frac{V}{\omega L_{\beta}} \left| 1 - f(\beta) \right| \quad (3.7)$$

No circuito do Regulador Estático de Reativos mostrado na figura III.1, terão que ser determinados o capacitor c e o indutor L_{β} . Estes parâmetros serão calculados com base no balanço de energia reativa, para o qual concorrem todos os elementos do G.I.R.E.

Para tanto é necessário considerar a operação do sistema em seus dois extremos de funcionamento:

- a plena carga, quando o regulador deve fornecer o máximo de reativos;
- a vazio, quando o regulador deve fornecer o mínimo de reativos.

Os tiristores devem ser disparados, para atender as condições que acabam de ser fixadas, de tal forma que o seu ângulo de meia-condução varia entre 80° e 10° . Estes ângulos correspondem a operação a vazio e plena carga, respectivamente, e foram fixados nestes valores devido a considerações relativas ao circuito eletrônico de comando dos tiristores.

O balanço de potência reativa em plena carga permite escrever:

$$Q_c = Q_1 + Q_{\beta} + Q_L \quad (3.8)$$

- onde:
- Q_c → potência reativa do capacitor
 - Q_1 → potência reativa da máquina
 - Q_{β} → potência reativa do indutor chaveado
 - Q_L → potência reativa da carga

Sendo: $Q_c = V_1^2 \omega C$ (3.9)

$$Q_1 = V_1 I_1 \text{ sen } \phi_1 \quad (3.10)$$

$$Q_\beta = \frac{V_1^2}{\omega L_\beta} |1 - f(\beta)|^2 \quad (3.11)$$

e $Q_L = V_1 I_{RL} \text{ sen } (\phi_{\max})$ (3.12)

onde $I_{RL} = \frac{\sqrt{|P|}}{\sqrt{R_L}}$

e $\beta = 10^0$

Substituindo as expressões (3.9) a (3.12) em (3.8), tem-se:

$$V_1 \omega C = V_1 \text{ sen } \phi_1 + \frac{V_1}{\omega L_\beta} |1 - f(\beta)|^2 I_{RL} \text{ sen } (\phi_{\max}) \quad (3.13)$$

O balanço de potência reativa a vazio permite escrever:

$$Q_{c0} = Q_o + Q_{\beta 0} \quad (3.14)$$

onde o índice 0 indica o regime a vazio.

As potências reativas a vazio são obtidas de forma análoga às de plena carga. Deve-se observar, entretanto, que a tensão V_1 e a velocidade de rotação são mantidas constantes e que o escorregamento é nulo.

Logo: $\omega_o = \omega_r = 388 \text{ rad.eletr./s}$

$$e: \quad Q_{co} = V_1^2 \omega_o C \quad (3.15)$$

$$Q_{\beta_o} = \frac{V_1^2}{\omega_o L \beta} \left| 1 - f(\beta_o) \right| \quad (3.16)$$

$$Q_o = V_1 I_o \text{ sen } \phi_o \quad (3.17)$$

onde $\beta_o = 80^\circ$

$$e \quad I_o \angle \phi_o = \bar{V}_1 (G_o - j B_o) \quad (3.18)$$

Logo:

$$V_1 \omega_o C = I_o \text{ sen } \phi_o + \frac{V_1}{\omega_o L \beta} \left| 1 - f(\beta_o) \right|^2 \quad (3.19)$$

Das equações (3.13) e (3.19) pode-se obter os valores de C e L_β .

$$L_\beta = \frac{V_1 \{ \omega_o^2 |1 - f(\beta)|^2 - \omega |1 - f(\beta_o)|^2 \}}{\omega_o \omega \{ \omega I_o \text{ sen } \phi_o - \omega_o I_1 \text{ sen } \phi_1 - \omega_o I_{RL} \text{ sen } \phi_{\max} \}} \quad (3.20)$$

e

$$C = \frac{I_o}{V_1 \omega_o} \text{ sen } \phi_o + \frac{1}{\omega_o^2 L \beta} \left| 1 - f(\beta_o) \right|^2 \quad (3.21)$$

Resultam:

$$L_\beta = 59,49 \text{ mH}$$

$$C = 107,70 \text{ } \mu\text{F}$$

CAPÍTULO IV

MODELAGEM DO G.I.R.E.

IV-1. Introdução

Pode-se separar este capítulo em duas partes: uma que trata da modelização da máquina assíncrona e outra que tratará da modelização do regulador estático de excitação.

IV-2. Modelização da Máquina Assíncrona

A literatura relativa a modelização das máquinas assíncronas (2,4,5,11) descreve várias possibilidades. Dentre as principais pode-se destacar aquelas baseadas na Transformação de Park.

Escolheu-se a transformação que refere todas as grandezas a dois eixos fixos no rotor. Além disso adotou-se uma transformação ortogonal com a vantagem de conservar a definição de potência.

Por definição, as grandezas trifásicas do estator são transformadas em grandezas cujo referencial move-se com o rotor. No caso das correntes, por exemplo:

$$i_{s(odq)} = P i_{s(abc)} \quad (4.1)$$

onde define-se os vetores corrente:

$$i_{s(odq)} = \begin{vmatrix} i_{so} \\ i_{sd} \\ i_{sq} \end{vmatrix} \quad e \quad i_{s(abc)} = \begin{vmatrix} i_{sa} \\ i_{sb} \\ i_{sc} \end{vmatrix} \quad (4.2)$$

e onde a transformação de Park (P) é definida como:

$$P = \frac{\sqrt{3}}{\sqrt{2}} \begin{vmatrix} 1/\sqrt{2} & 1/\sqrt{2} & 1/\sqrt{2} \\ \cos\theta & \cos(\theta-2\pi/3) & \cos(\theta+2\pi/3) \\ \sin\theta & \sin(\theta-2\pi/3) & \sin(\theta+2\pi/3) \end{vmatrix} \quad (4.3)$$

com $\theta = \omega t$

Adotou-se uma representação sob a forma de equação de estado e escolheu-se como variáveis de estado os fluxos nos enrolamentos da máquina.

Esta escolha deveu-se ao fato de que o fenômeno de saturação do circuito magnético da máquina desempenha um papel fundamental ao funcionamento do gerador assíncrono auto-excitado, como viu-se no capítulo II.

Finalmente, adotou-se uma convenção "gerador" para a escrita das equações de tensão da máquina. Isto significa de correntes positivas saem da máquina pelo terminal onde a polaridade da tensão é positiva.

Pode-se expressar as equações de tensão, de acordo com a convenção acima adotada:

$$v = ri - \lambda \quad (4.4)$$

ou, de forma mais explícita:

$$\begin{vmatrix} v_s(abc) \\ 0 \end{vmatrix} = - \begin{vmatrix} R_s(abc) & 0 \\ 0 & RR(abc) \end{vmatrix} \begin{vmatrix} i_s(abc) \\ i_R(abc) \end{vmatrix} - \begin{vmatrix} \lambda^0 \\ \lambda^0 \end{vmatrix} \begin{vmatrix} s(abc) \\ R(abc) \end{vmatrix} \quad (4.5)$$

Aplicando-se a Transformação de Park, obtêm-se as equações de Tensão referidas a dois eixos fixos no rotor. O terceiro eixo deixa de ser representado tendo em vista que o centro da estrela do enrolamento da armadura não é conectado à carga.

$$\begin{array}{c}
 \left| \begin{array}{c} v_{sd} \\ v_{sq} \\ 0 \\ 0 \end{array} \right| = - \left| \begin{array}{ccc} r_s & & \\ & r_s & \\ & & r_R \\ & & & r_R \end{array} \right| \left| \begin{array}{c} i_{sd} \\ i_{sq} \\ i_{Rd} \\ i_{Rq} \end{array} \right| + \\
 + \left| \begin{array}{c} -\omega \lambda_{sq} \\ \omega \lambda_{sd} \\ 0 \\ 0 \end{array} \right| - \left| \begin{array}{c} \lambda_{sd}^0 \\ \lambda_{sq}^0 \\ \lambda_{Rd}^0 \\ \lambda_{Rq}^0 \end{array} \right| \quad (4.6)
 \end{array}$$

Ou, colocando-se na forma de equação de estado:

$$\left| \begin{array}{c} \lambda_{sd}^0 \\ \lambda_{sq}^0 \\ \lambda_{Rd}^0 \\ \lambda_{Rq}^0 \end{array} \right| = - \left| \begin{array}{ccc} r_s & & \\ & r_s & \\ & & r_R \\ & & & r_R \end{array} \right| \left| \begin{array}{c} i_{sd} \\ i_{sq} \\ i_{Rd} \\ i_{Rq} \end{array} \right|$$

$$\begin{array}{c}
 + \\
 \left| \begin{array}{c} - \omega \lambda_{sq} \\ \omega \lambda_{sd} \\ 0 \\ 0 \end{array} \right| \\
 \end{array}
 \quad
 \begin{array}{c}
 - \\
 \left| \begin{array}{c} v_{sd} \\ v_{sq} \\ 0 \\ 0 \end{array} \right|
 \end{array}
 \quad
 (4.7)$$

IV-3. Obtenção das correntes a partir dos fluxos⁽⁹⁾

O cálculo dos fluxos é feito por integração numérica utilizando o método de Runge-Kutta de quarta-ordem.

A obtenção das correntes a cada passo é feita a partir dos fluxos considerando que:

$$i = (\lambda - \lambda_m) / \ell \quad (4.8)$$

ou seja, que o enlace de fluxo total com um dado enrolamento (λ) é igual à soma do fluxo disperso (λ_i) ao fluxo magnetizante (λ_m) do mesmo enrolamento. Nesta expressão o valor do fluxo total (λ) é conhecido (obtido pela integração numérica das equações diferenciais 4.6).

Tem-se, assim, um sistema de quatro equações algébricas (uma para cada enrolamento da máquina) no qual a relação entre as correntes e os respectivos fluxos magnetizantes é não linear e dada pela curva de saturação a vazio.

A curva de saturação da máquina foi obtida a partir de ensaio a vazio e relaciona o enlace de fluxo magnetizante com a corrente de magnetização.

A figura IV.1 mostra a curva de saturação a vazio.

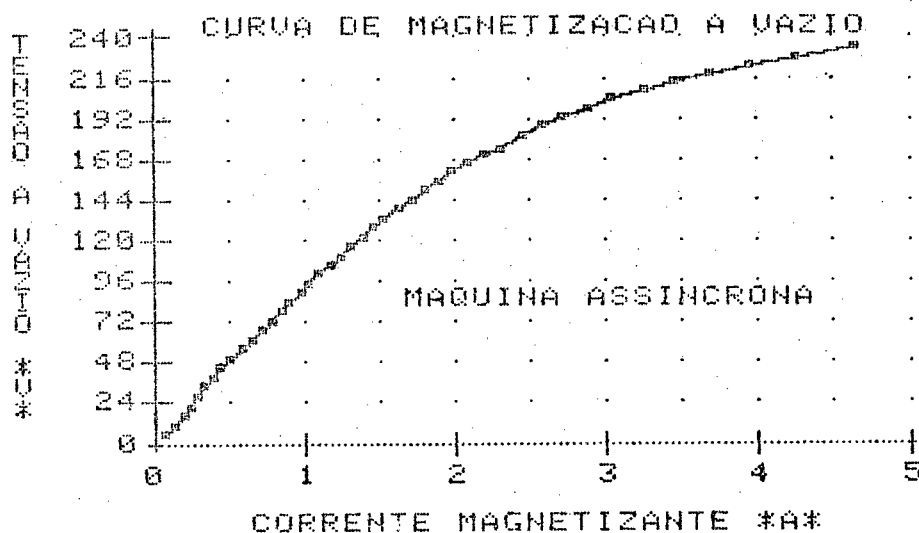


FIGURA IV.1

O fluxo magnetizante foi obtido a partir da tensão fase-neutro a vazio obtida do ensaio através da relação:

$$\lambda_m = \sqrt{3} V_a(e_f) / \omega \quad (4.9)$$

e a corrente de magnetização pela relação:

$$i_m = \sqrt{3} i_a(e_f) \quad (4.10)$$

Este fluxo e corrente desta forma foram referidos, também, aos sistemas de eixos fixos no rotor.

Escolheu-se representar a curva de magnetização por três segmentos de reta ^(7,8). A figura IV.2 mostra estes segmentos superpostos à curva medida. Introduziu-se um valor de magnetismo remanente no sentido de permitir a simulação do fenômeno de escorvamento do gerador de indução.

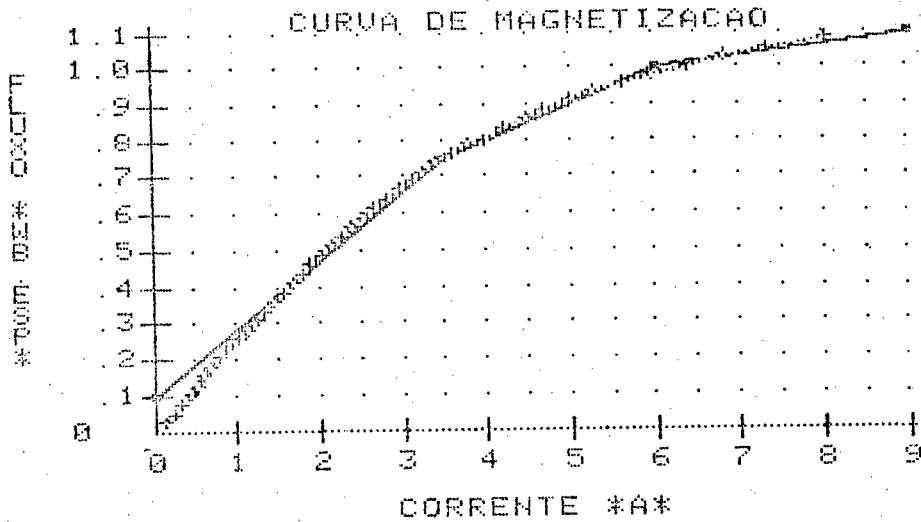


FIGURA IV.2

Em se tratando de uma máquina de rotor cilíndrico, o fenômeno de saturação está ligado ao valor do fluxo resultante no entreferro. Este fluxo sendo uma grandeza senoidal, será decomposto segundo os eixos d e q . O fluxo próprio de um enrolamento da máquina divide-se, como já mencionou-se, em um fluxo disperso cujo caminho principal situa-se no ar, e um fluxo útil que percorre o circuito magnético sujeito então à lei de variação da permeabilidade do material.

A figura IV.3 mostra a posição relativa da corrente de magnetização, e por via de consequência do fluxo magnetizante, em relação aos eixos de referência d e q .

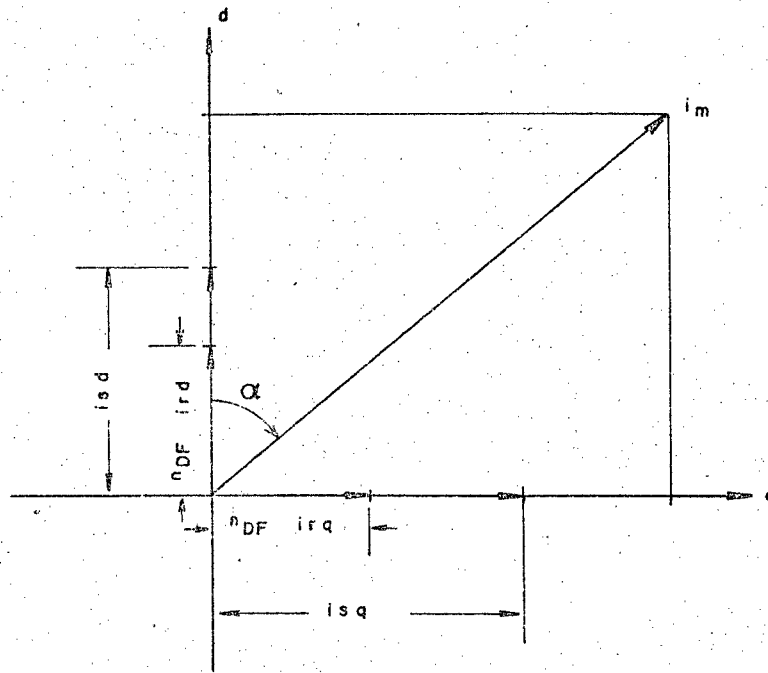


FIGURA IV.3: Diagrama de Forças Magnetomotrizas

A decomposição dos fluxos permite escrever (9):

$$\begin{aligned}
 \lambda_{sd} &= \ell_s i_{sd} + \lambda_m \cos \alpha \\
 \lambda_{sq} &= \ell_s i_{sq} + \lambda_m \sin \alpha \\
 \lambda_{Rd} &= \ell_r i_{Rd} + n_{DF} \lambda_m \cos \alpha \\
 \lambda_{Rq} &= \ell_r i_{Rq} + n_{DF} \lambda_m \sin \alpha
 \end{aligned} \tag{4.11}$$

onde ℓ_s e ℓ_r representam as indutâncias de dispersão dos enrolamentos do estator e do rotor, respectivamente, e n_{DF} representa o coeficiente de equivalência de ampères-espiras entre os enrolamentos do estator e do rotor.

Nestas condições pode-se escrever:

$$i_m = \sqrt{(i_{sd} + n_{DF} i_{Rd})^2 + (i_{sq} + n_{DF} i_{Rq})^2} \tag{4.12}$$

com

$$\cos \alpha = \frac{i_{sd} + n_{DF} i_{Rd}}{i_m} \quad (4.13)$$

$$\sin \alpha = \frac{i_{sq} + n_{DF} i_{Rq}}{i_m} \quad (4.14)$$

A resolução do sistema de equações algébricas não-lineares 4.11 é feito utilizando o método de Newton-Raphson ⁽⁶⁾.

Este método reside na solução do sistema de equações abaixo:

$$\begin{pmatrix} Y_1 - f_1(x_1^{(0)}, x_2^{(0)}, \dots, x_n^{(0)}) \\ Y_2 - f_2(x_1^{(0)}, x_2^{(0)}, \dots, x_n^{(0)}) \\ Y_3 - f_3(x_1^{(0)}, x_2^{(0)}, \dots, x_n^{(0)}) \\ Y_4 - f_4(x_1^{(0)}, x_2^{(0)}, \dots, x_n^{(0)}) \end{pmatrix} = \begin{pmatrix} \frac{\partial f_1}{\partial x_1} & \dots & \frac{\partial f_1}{\partial x_n} \\ \frac{\partial f_2}{\partial x_1} & \dots & \frac{\partial f_2}{\partial x_n} \\ \frac{\partial f_3}{\partial x_1} & \dots & \frac{\partial f_3}{\partial x_n} \\ \frac{\partial f_4}{\partial x_1} & \dots & \frac{\partial f_4}{\partial x_n} \end{pmatrix} \begin{pmatrix} \Delta x_1 \\ \vdots \\ \vdots \\ \vdots \\ \Delta x_n \end{pmatrix} \quad (4.15)$$

ou

$$D = JC. \quad (4.16)$$

onde J é uma matriz jacobiana, Y é o valor do fluxo, as funções f são os fluxos nos eixos direto e quadratura, tanto rotóricas como estatóricas, os valores da matriz D e a matriz jacobiana J são calculados substituindo os valores das correntes x_i uma vez obtido Δx_i pode-se obter o novo vetor x_i com a seguinte expressão:

$$x_i^{(1)} = x_i^{(0)} + \Delta x_i \quad (4.17)$$

com este valor se procede novamente ao cálculo de D e J para logo encontrar um novo Δx_i até a convergência.

A solução do método iterativo de Newton-Raphson é ilustrado com o fluxograma da figura IV.4:

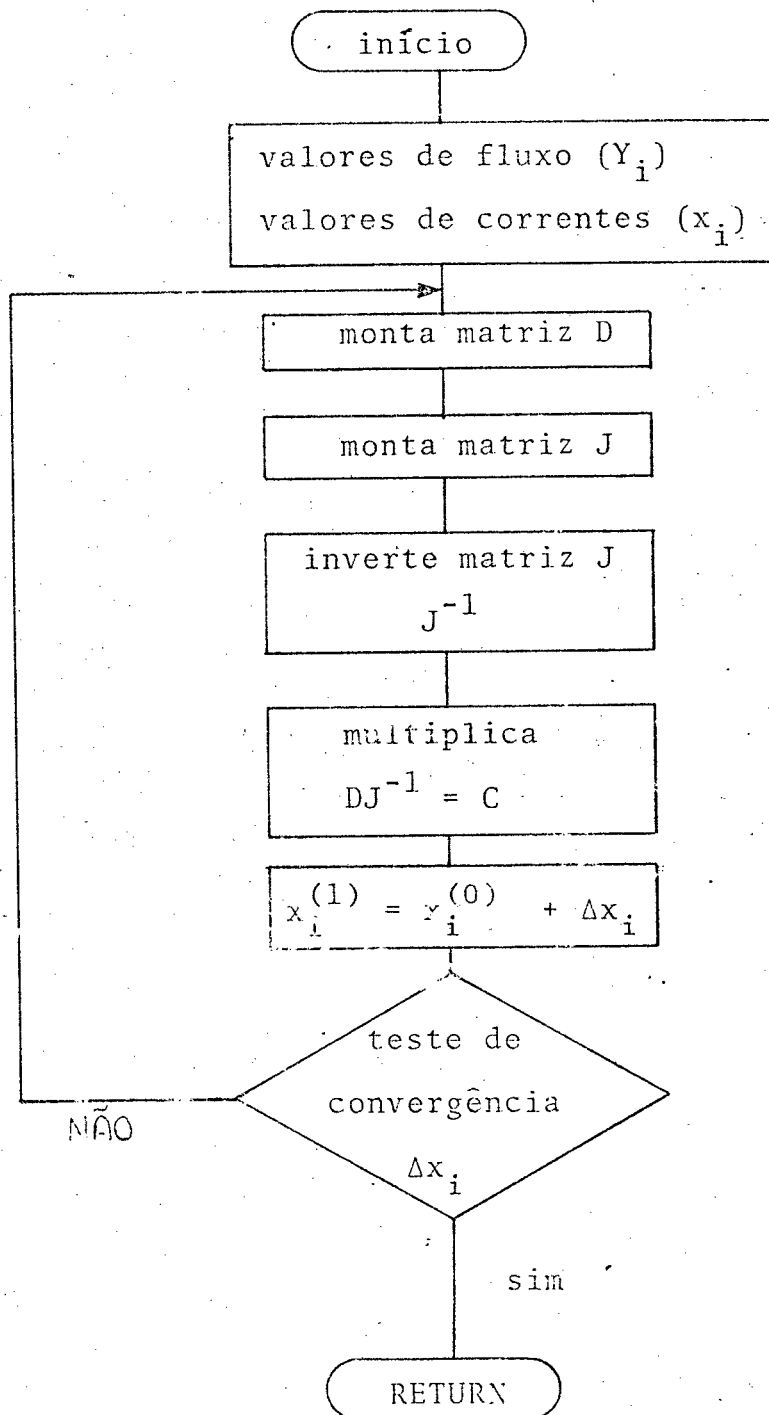


FIGURA IV.4: Fluxograma do Método Iterativo de Newton-Raphson

MATRIZ D

Tendo-se um valor de fluxo proveniente da integração numérica de Runge-Kuta λ_{sd} , λ_{sq} , λ_{rd} e λ_{rq} os valores iniciais das correntes bem como as funções de fluxo em relação ao fluxo de magnetização já deduzidas nas expressões 4.11 podemos montar a matriz D da seguinte maneira:

$$D = \begin{pmatrix} \lambda_{sd} - (\ell_s i_{sd} + \lambda_m \cos \alpha_1) \\ \lambda_{sq} - (\ell_s i_{sq} + \lambda_m \sin \alpha_1) \\ \lambda_{rd} - (\ell_r i_{rd} + \lambda_m \cos \alpha_1) \\ \lambda_{rq} - (\ell_r i_{rq} + n_{DF} \lambda_m \sin \alpha_1) \end{pmatrix} \quad (4.18)$$

O fluxo de magnetização λ_m e as funções $\cos \alpha_1$ $\sin \alpha_1$ são obtidas previamente pelas expressões 4.9, 4.13 e 4.14 respectivamente.

MATRIZ J.

Sendo:

$$\begin{aligned} F_1 &= \ell_s i_{sd} + \lambda_m \cos \alpha_1 - \lambda_{sd} \\ F_2 &= \ell_s i_{sq} + \lambda_m \sin \alpha_1 - \lambda_{sq} \\ F_3 &= \ell_r i_{rd} + n_{DF} \lambda_m \cos \alpha_1 - \lambda_{rd} \\ F_4 &= \ell_r i_{rq} + n_{DF} \lambda_m \sin \alpha_1 - \lambda_{rq} \end{aligned} \quad (4.19)$$

A matriz jacobiana

$$J = \begin{pmatrix} \frac{\partial F_1}{\partial I_{sd}} & \frac{\partial F_1}{\partial I_{sq}} & \frac{\partial F_1}{\partial I_{rd}} & \frac{\partial F_1}{\partial I_{rq}} \\ \frac{\partial F_2}{\partial I_{sd}} & \frac{\partial F_2}{\partial I_{sq}} & \frac{\partial F_2}{\partial I_{rd}} & \frac{\partial F_2}{\partial I_{rq}} \\ \frac{\partial F_3}{\partial I_{sd}} & \frac{\partial F_3}{\partial I_{sq}} & \frac{\partial F_3}{\partial I_{rd}} & \frac{\partial F_3}{\partial I_{rq}} \\ \frac{\partial F_4}{\partial I_{sd}} & \frac{\partial F_4}{\partial I_{sq}} & \frac{\partial F_4}{\partial I_{rd}} & \frac{\partial F_4}{\partial I_{rq}} \end{pmatrix} \quad (4.20)$$

onde:

$$\frac{\partial F_1}{\partial I_{sd}} = \lambda_s + n_{FD} \left(\lambda_m^0 \cos \alpha_1 + \frac{\lambda_m}{i_m} \operatorname{sen}^2 \alpha_1 \right)$$

$$\frac{\partial F_1}{\partial I_{sq}} = n_{FD} \operatorname{sen} \alpha_1 \cos \alpha_3 \left(\lambda_m^0 - \frac{\lambda_m}{i_m} \right)$$

$$\frac{\partial F_1}{\partial I_{rd}} = \lambda_m \cos^2 \alpha_2 + \frac{\lambda_m}{i_m} \operatorname{sen}^2 \alpha_1$$

$$\frac{\partial F_1}{\partial I_{rq}} = \operatorname{sen} \alpha_1 \cos \alpha_1 \left(\lambda_m^0 - \frac{\lambda_m}{i_m} \right)$$

$$\frac{\partial F_2}{\partial I_{sd}} = n_{FD} \operatorname{sen} \alpha_1 \cos \alpha_1 \left(\lambda_m^0 - \frac{\lambda_m}{i_m} \right)$$

$$\frac{\partial F_2}{\partial I_{sq}} = \lambda_s + n_{FD} \left(\lambda_m^0 \operatorname{sen}^2 \alpha_1 + \frac{\lambda_m}{i_m} \cos^2 \alpha_1 \right)$$

$$\frac{\partial F_2}{\partial I_{rd}} = \text{sen } \alpha_1 \cos \alpha_1 \left(\lambda_m^0 - \frac{\lambda_m}{i_m} \right)$$

$$\frac{\partial F_2}{\partial I_{rq}} = \lambda_m^0 \text{sen}^2 \alpha_1 + \frac{\lambda_m}{i_m} \cos^2 \alpha_1$$

$$\frac{\partial F_3}{\partial I_{sd}} = \lambda_m^0 \cos^2 \alpha_1 + \frac{\lambda_m}{i_m} \text{sen}^2 \alpha_1$$

$$\frac{\partial F_3}{\partial I_{sq}} = \text{sen } \alpha_1 \cos \alpha_1 \left(\lambda_m^0 - \frac{\lambda_m}{i_m} \right)$$

$$\frac{\partial F_3}{\partial I_{rd}} = \ell_r + n_{FD} \left(\lambda_m^0 \cos^2 \alpha_1 + \frac{\lambda_m}{i_m} \text{sen}^2 \alpha_1 \right)$$

$$\frac{\partial F_3}{\partial I_{rq}} = n_{DF} \text{sen } \alpha_1 \cos \alpha_1 \left(\lambda_m^0 - \frac{\lambda_m}{i_m} \right)$$

$$\frac{\partial F_4}{\partial I_{sd}} = \text{sen } \alpha_1 \cos \alpha_1 \left(\lambda_m^0 - \frac{\lambda_m}{i_m} \right)$$

$$\frac{\partial F_4}{\partial I_{sq}} = \lambda_m^0 \text{sen}^2 \alpha_1 + \frac{\lambda_m}{i_m} \cos^2 \alpha_1$$

$$\frac{\partial F_4}{\partial I_{rd}} = n_{FD} \text{sen } \alpha_1 \cos \alpha_1 \left(\lambda_m^0 - \frac{\lambda_m}{i_m} \right)$$

$$\frac{\partial F_4}{\partial I_{rq}} = \ell_r + n_{DF} \left(\lambda_m^0 \text{sen}^2 \alpha_1 + \frac{\lambda_m}{i_m} \cos^2 \alpha_1 \right)$$

O método como foi apresentado até aqui permite a simulação das máquinas assíncronas em qualquer regime de funcionamento, levando em conta o fenômeno de saturação do circuito magnético.

Uma das vantagens deste método reside no fato de necessitar-se apenas de dados obtidos nos ensaios a vazio e de rotor bloqueado, facilmente realizáveis.

IV-4. Representação do Sistema Estático de Excitação e Regulação.

Devido a dificuldades de ordem numérica e computacional levaram a que se procurasse reduzir a ordem do sistema de equações diferenciais a resolver.

Uma das providências que foram tomadas com este objetivo foi a obtenção de um capacitor variável equivalente ao conjunto capacitor mais indutor chaveado do regulador estático.

O capacitor equivalente que obteve-se é aquele que produz a mesma energia reativa que o conjunto que ele substitui.

Da equação dos potenciais reativas, tem-se:

$$(Q_C)_{eq} = Q_C - Q_L$$

onde: $(Q_C)_{eq} = \frac{V^2}{(X_C)_{eq}}$

$$Q_C = \frac{V^2}{X_C}$$

$$Q_L = \frac{V^2}{X_L}$$

Ou seja:

$$C_{eq} = \frac{\omega^2 L_\beta C - |1 - f(\beta)|^2}{\omega^2 L_\beta} \quad (4.21)$$

O capacitor equivalente tem assim sua capacitância expressa em função do ângulo de meia-condução dos tiristores e da frequência.

Em condições de plena carga obtém-se o capacitor equivalente entrando na expressão (4.21) com $\omega = 377 \text{ rad/s}$ e $\beta = 10^\circ$. Já

a vazio, $\omega = 388 \text{ rad/s}$ e $\beta = 80$.

Deve-se ter em mente, entretanto, que com isto perder-se-ã informações relativas ao comportamento de cada elemento individualmente e sua interação com os demais.

Além disso, a expressão obtida sô é válida em regime permanente. Constatou-se, porém, que com a velocidade de rotação constante a variação da carga produz uma variação imediata da frequência a qual permanece constante até nova variação da carga. Assim, justifica-se a utilização do capacitor equivalente.

Para escrever-se as equações diferenciais referentes ao capacitor de excitação, considere-se a figura IV-5.

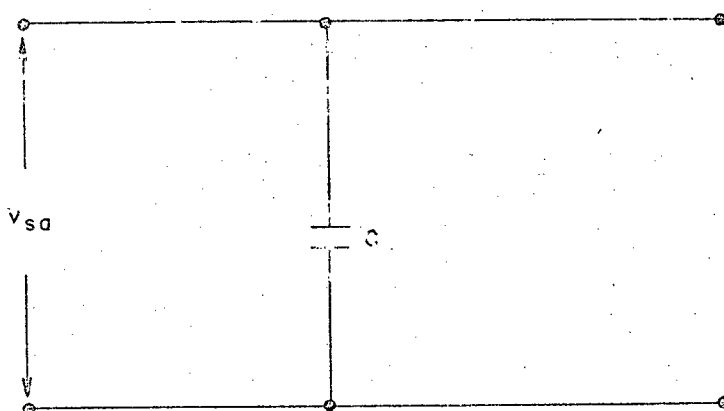


FIGURA IV-5: Gerador de Indução em paralelo com o capacitor de excitação, por fase.

Nesta figura v_{sa} representa a tensão nos terminais do gerador de indução correspondente à fase a da armadura.

A observação desta figura permite escrever a equação de malha do circuito.

$$v_{sa} = \frac{1}{c} \int i_{sa} dt \quad (4.22)$$

Pode-se generalizar esta equação para as três fases:

$$v_{sabc} = \frac{1}{c} \int i_{sabc} dt \quad (4.23)$$

A derivação desta equação permite obter a equação diferencial que deseja-se:

$${}^0 v_{sabc} = \frac{1}{c} i_{sabc} \quad (4.24)$$

Aplicando-se a transformação da equação 4.3 refere-se as grandezas da expressão 4.24 a um par de eixos fixos no rotor.

Ou seja:

$$C^+ {}^0 v_{sabc} = \frac{1}{c} U_3 C^t i_{sabc} \quad (4.25)$$

onde:

$$U_3 = \begin{vmatrix} 1 & 0 & 0 \\ 0 & 1 & 0 \\ 0 & 0 & 1 \end{vmatrix}$$

Para obter-se o resultado da operação indicada no primeiro membro da eq. 4.25 parte-se da definição da transformação:

$$C^t v_{sabc} = v_{0dq} \quad (4.26)$$

derivando-se esta equação:

$${}^0 v_{0dq} = C^t v_{sabc} + C^{t0} v_{sabc}$$

$$\text{ou: } C^t v_{sabc}^0 = v_{0dq}^0 - C^t v_{sabc}$$

$$C^t v_{sabc}^0 = v_{0dq}^0 - C^t C v_{0dq} \quad (4.27)$$

Demonstra-se que:

$$C^t C v_{0dq} = \begin{vmatrix} 0 \\ -\omega v_{sq} \\ \omega v_{sd} \end{vmatrix} \quad (4.28)$$

Logo:

$$v_{dq} = \frac{1}{C} i_{sdq} + \begin{vmatrix} -\omega v_{sq} \\ \omega v_{sd} \end{vmatrix} \quad (4.29)$$

onde desprezou-se a componente de seqüência zero da tensão e da corrente.

As equações diferenciais referentes a este capacitor equivalente são, então:

$$\begin{aligned} v_{sd}^0 &= \frac{1}{C} i_{sd} - v_{sq} \\ v_{sq}^0 &= \frac{1}{C} i_{sq} + v_{sd} \end{aligned} \quad (4.30)$$

IV-5. Representação da Carga

Mais uma vez, visando não aumentar a ordem do sistema e com isto reduzir o tempo de computação, optou-se por simular uma carga puramente resistiva.

As equações correspondentes a carga são deduzidas em base da figura IV-6 onde temos o gerador de indução em paralelo do capacitor equivalente de excitação e a carga

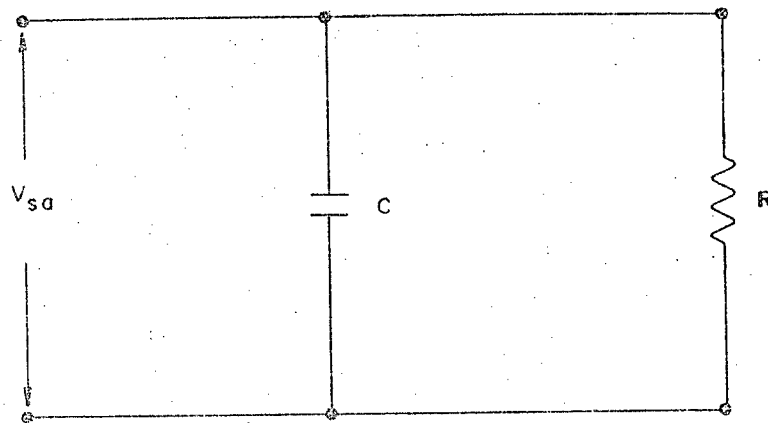


FIGURA IV-6: Gerador de indução em paralelo com o capacitor de excitação e a carga for fase.

Pode-se obter desta figura em base das equações das malhas a expressão for fase da tensão nos terminais da armadura dada pela expressão 4.31.

$${}^0V_{sabc} = \frac{1}{C} U_3 i_{sabc} - \frac{1}{CR} U_3 v_{sabc} \quad (4.31)$$

aplicando-se nesta expressão a transformação 4.3 temos:

$$C^t {}^0V_{sabc} = \frac{1}{C} U_3 C^t i_{sabc} - \frac{1}{CR} U_3 C^t v_{sabc} \quad (4.32)$$

com a expressão 4.27 podemos substituindo na expressão 4.31 obtemos a expressão 4.33.

$${}^0V_{odq} - C^t C v_{odq} = \frac{1}{C} i_{odq} - \frac{1}{CR} v_{odq} \quad (4.33)$$

Substituindo a expressão 4.28 obtemos

$${}^0V_{odq} = \frac{1}{C} i_{sodq} + \begin{vmatrix} -\omega v_{sq} \\ \omega S_{sd} \end{vmatrix} - \frac{1}{CR} v_{sodq} \quad (4.34)$$

Com isto, as equações que representam todos os elementos conectados aos terminais do gerador resumem-se às seguintes:

$$v_{sd}^0 = \frac{1}{C} i_{sd} - \omega v_{sq} - \frac{1}{RC} v_{sd} \quad (4.35)$$

$$v_{sq}^0 = \frac{1}{C} i_{sq} + \omega v_{sq} - \frac{1}{RC} v_{sq}$$

onde R representa a resistência de carga e C o capacitor equivalente.

CAPÍTULO V

ANÁLISE DO COMPORTAMENTO DINÂMICO DO G.I.R.E.

V-1. Introdução

Neste capítulo será feita a análise do comportamento do GIRE quando submetido a diferentes condições de operação.

As figuras aqui apresentadas foram obtidas a partir dos resultados da simulação digital apresentada nos capítulos anteriores.

Três são as situações que analisar-se-á:

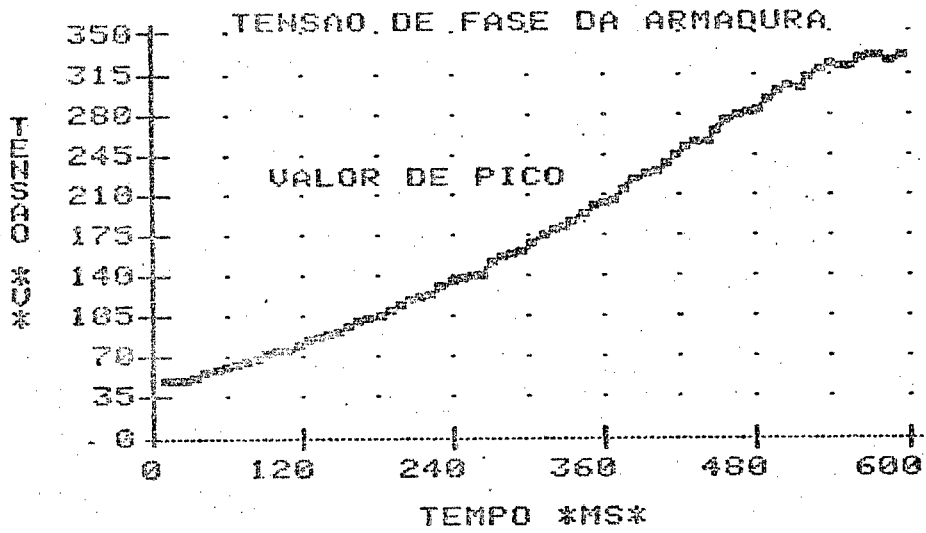
- Escorvamento
- Aplicação de carga
- Variação do ângulo de disparo dos tiristores do regulador estático.

V - 2. Escorvamento

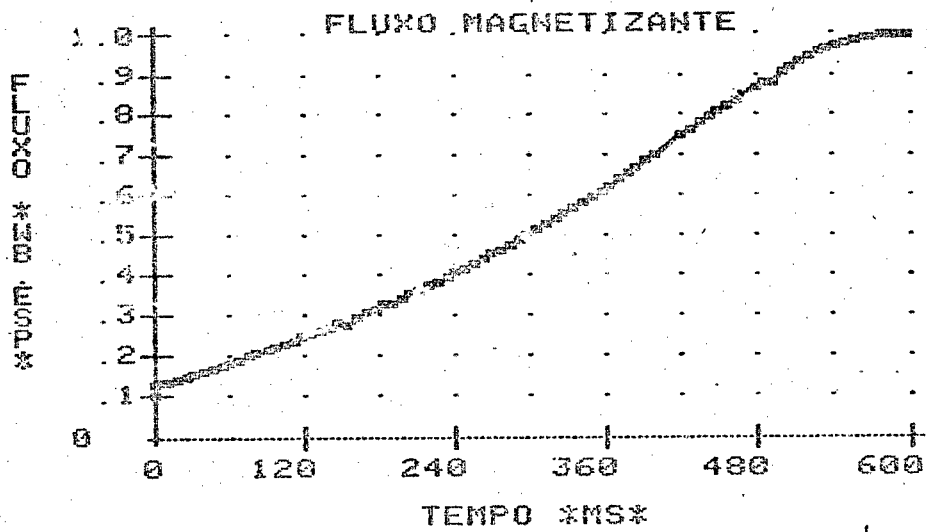
Neste item verificar-se-á o fenômeno de estabelecimento de uma tensão nos terminais do gerador por efeito de seu magnetismo remanente e em consequência da conexão de um capacitor aos seus terminais.

A figura V-2.a mostra a evolução no tempo dos valores de pico da tensão de uma fase da armadura do gerador.

Verifica-se nesta figura que são necessários cerca de 30 ciclos de 60 Hz para o estabelecimento da tensão nominal nos terminais da armadura.



(a)



(b)

FIGURA V-1: Escorvamento do Gerador de Indução

Considerou-se, neste caso, um fluxo remanente de 0,1 weber. espira no eixo direto da máquina. Este fluxo remanente poderia ter sido obtido fazendo circular uma corrente contínua pelos enrolamentos da armadura..

A figura V-1.b mostra, nas mesmas condições, a evolução do fluxo magnetizante.

As figuras V-2.a e b mostram a evolução dos fluxos dos eixos direto e em quadratura dos enrolamentos do rotor e estator, respectivamente.

Como, nas condições desta simulação, a máquina encontra-se a vazio as grandezas referentes aos eixos d e q são contínuas. Isto verifica-se nas figuras acima comentadas.

Considerou-se aqui o capacitor equivalente decorrente da fixação em 80° do ângulo β de disparo dos tiristores do regulador estático. Este ângulo corresponde à máxima absorção de reativos por parte do regulador estático.

V-3. Aplicação de Carga Resistiva

Conforme foi explicado no item IV-5 simular-se-á somente a aplicação de uma carga resistiva pura aos terminais do gerador.

Escolhem-se para esta análise o caso da aplicação de uma carga resistiva correspondente à potência nominal do gerador.

A aplicação da carga é feita considerando o gerador devidamente excitado, com tensão nominal nos seus terminais.

O ângulo de disparo dos tiristores do regulador estático é mantido fixo em 80° , correspondendo à situação do gerador a vazio.

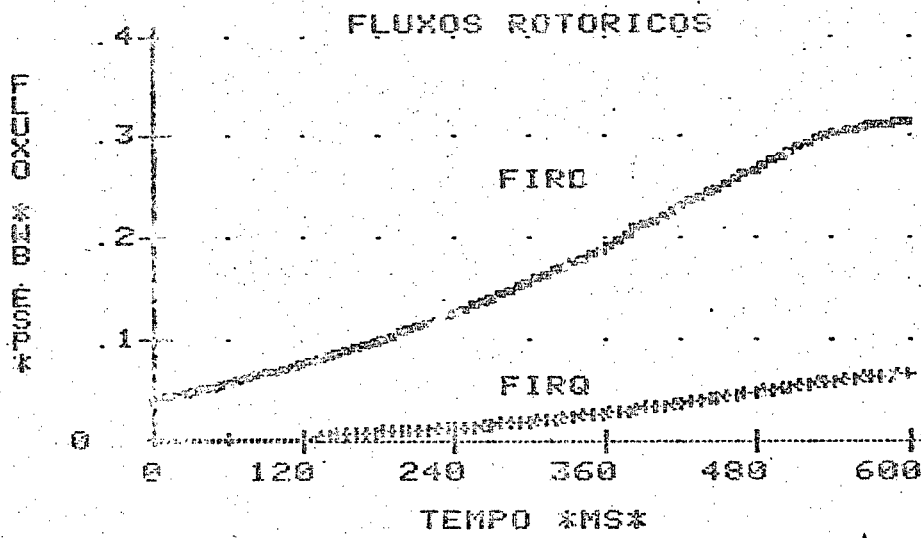
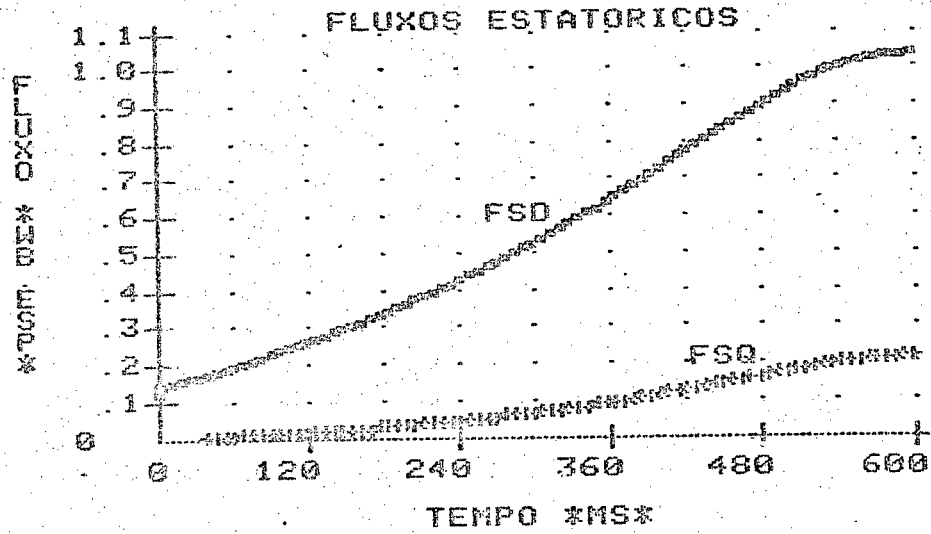


FIGURA V-2: Evolução dos fluxos estatóricos e rotóricos durante o escorvamento do Gerador de Indução.

A figura V-3.a mostra a queda da tensão nos terminais de uma fase da armadura em função do tempo. Esta queda de tensão representa 30% da tensão nominal. Entretanto cabe ressaltar que não se está atuando no regulador estático.

A figura V-3.b mostra a variação do fluxo magnetizante em decorrência da aplicação de carga.

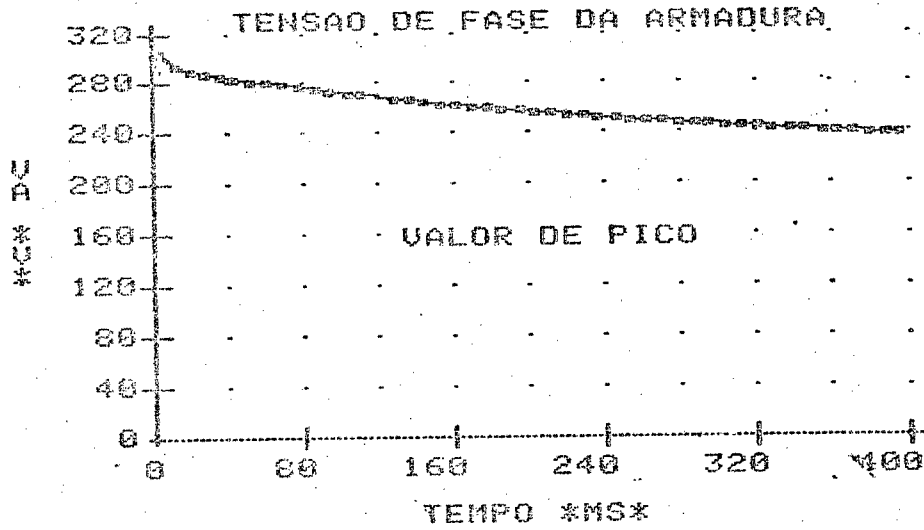
As figuras V-4.a e c mostram a variação das correntes rotóricas e estatóricas, respectivamente. Observa-se que estas correntes variam com uma frequência de 1,89 Hz, aproximadamente, o que corresponde a um escorregamento de 3,15%, ou seja, praticamente o escorregamento correspondente à carga nominal da máquina. Este resultado é consequência da transformação de Park adotada que refere todas as grandezas a eixos fixos no rotor. Observa-se também que os valores de pico das diferentes correntes correspondem aos valores esperados para a carga aplicada.

As figuras V-4.b e d mostram com mais detalhe o transitório inicial das correntes tanto do estator como do rotor.

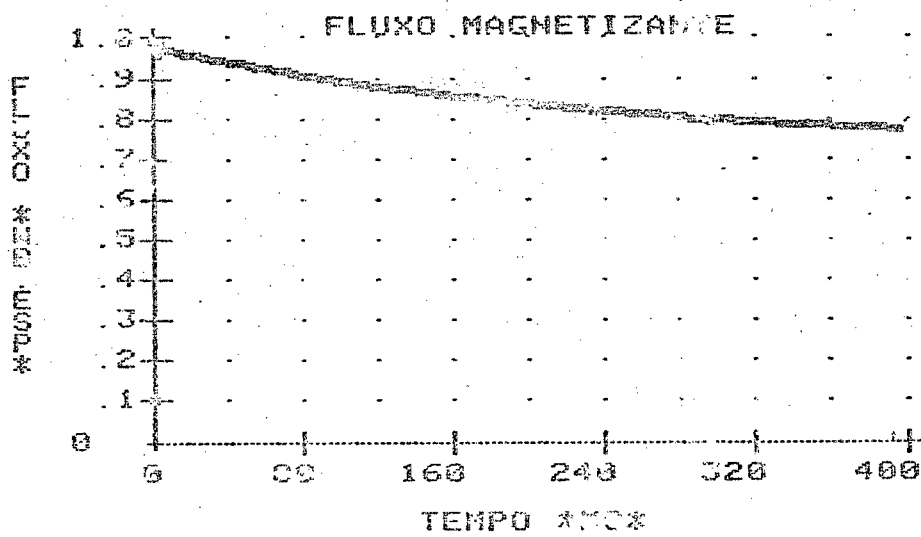
V-4. Variação do Ângulo de Disparo dos Tiristores do Regulador Estático

O objetivo da simulação que será apresentada aqui é permitir uma avaliação da capacidade de regulação do regulador estático.

As condições iniciais desta simulação correspondem às condições finais do caso anterior em que se aplicou carga ao gerador.



(a)



(b)

FIGURA V-3: Aplicação de Carga Resistiva Nominal.

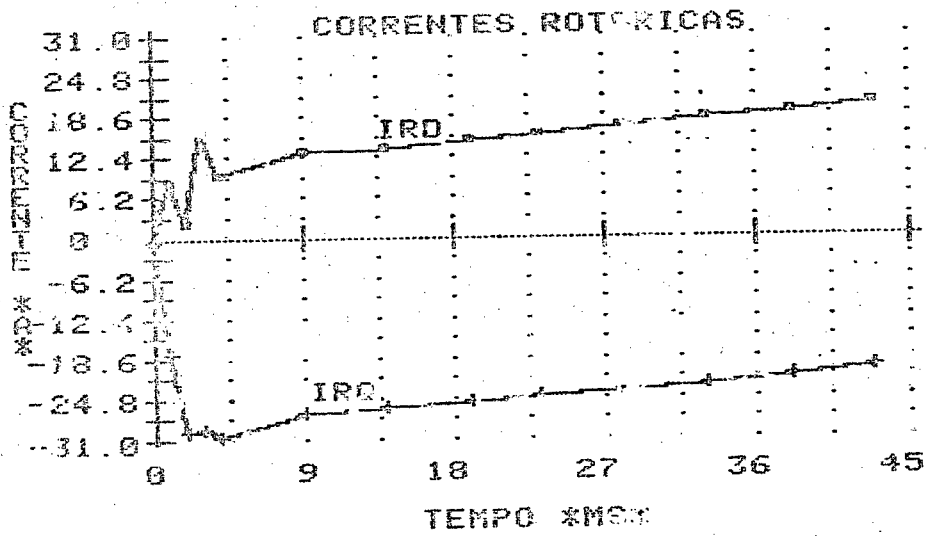
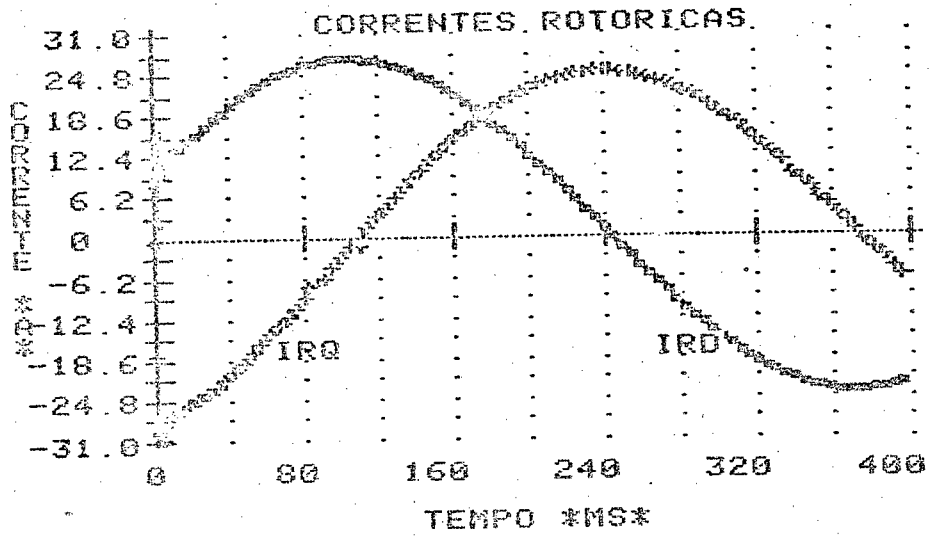
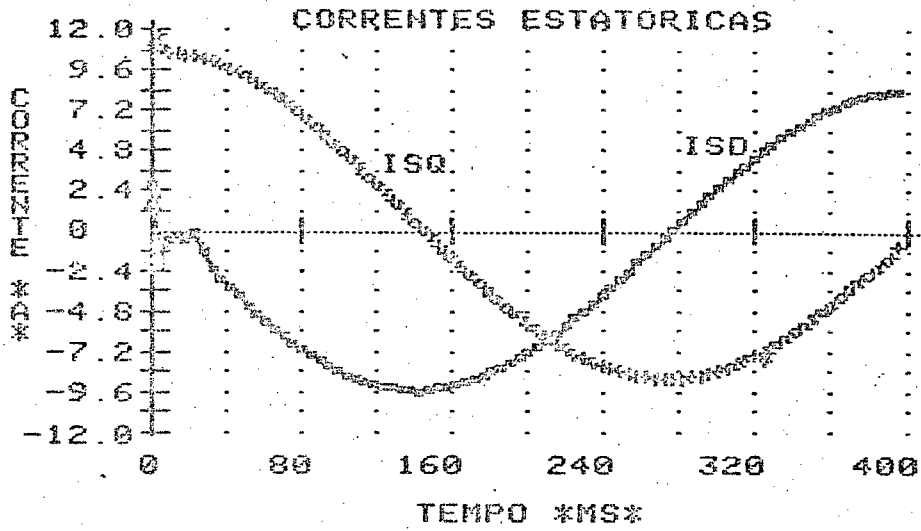
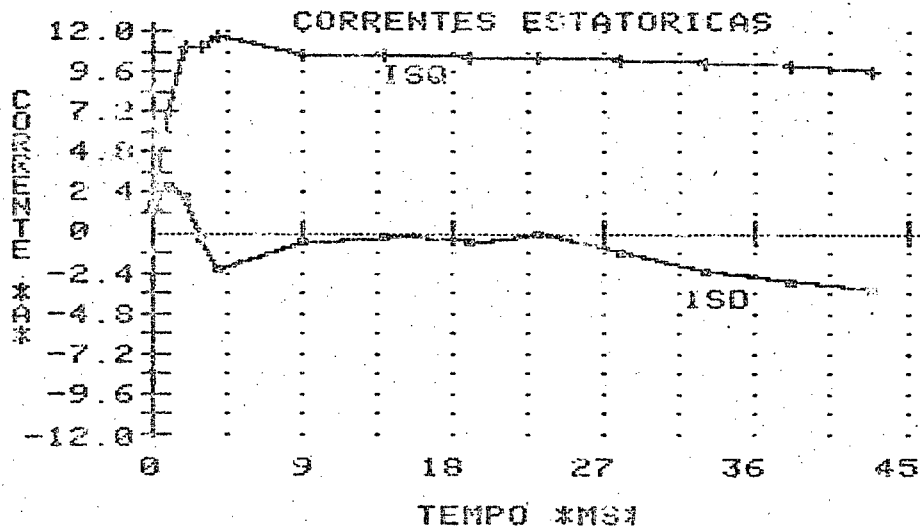


FIGURA V-4: Aplicação de Carga Resistiva Nominal.



(c)



(d)

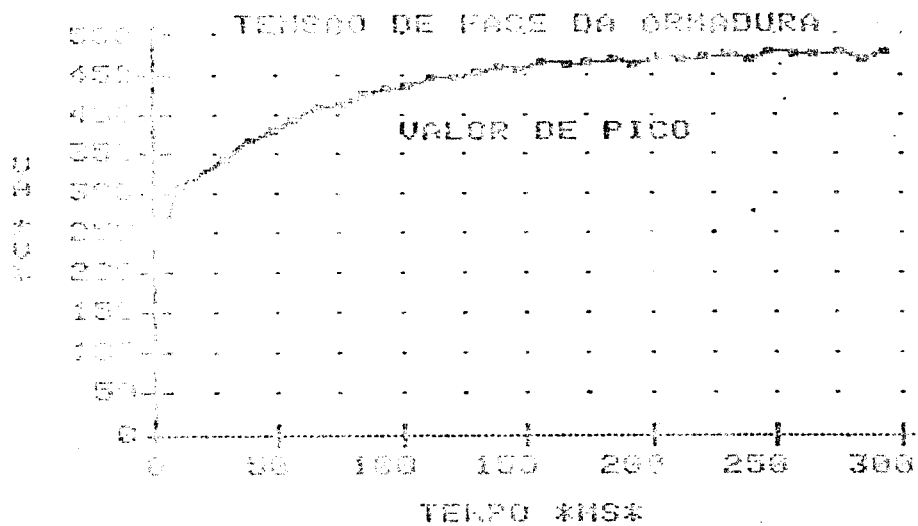
FIGURA V - 4: Aplicação de Carga Resistiva Nominal (cont.)

O ângulo β será variado de 80° , correspondente à máxima absorção de reativos, para 10° , correspondente à mínima absorção de reativos.

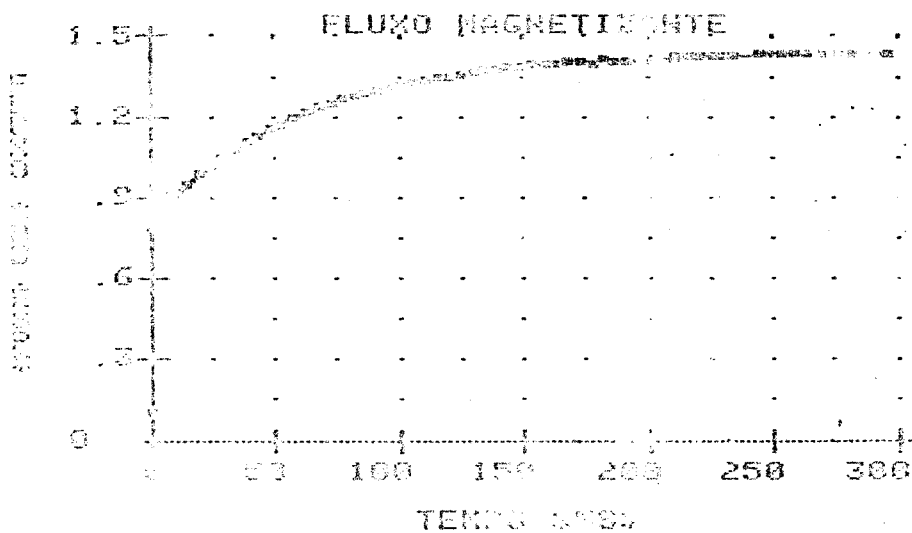
A figura V-5.a mostra a variação da tensão de uma fase da armadura. Esta tensão atinge seu valor final em cerca de 14 ciclos de 60 Hz.

Observa-se também que a tensão que havia caído em 30% com a aplicação da carga, recuperou a tensão inicial em apenas 21 ms, ou seja pouco mais de um ciclo de 60 Hz após a variação brusca de β . Isto permite prever uma boa regulação através de uma ação sobre o ângulo de disparo dos tiristores.

A figura V-5.b mostra a variação do fluxo magnetizante em consequência desta variação de β .



(a)



(b)

FIGURA V-5: Efeito da variação do ângulo de disparo dos tiristores de 90° para 10° .

CAPÍTULO VI

CONCLUSÃO

A robustez e simplicidade da máquina de indução fazem com que não necessite uma manutenção honerosa. Esta característica, mais as respostas das simulações realizadas neste trabalho, fazem com que seu uso como gerador auto-excitado tenha um futuro prometedo.

Dos resultados das simulações mostradas no capítulo anterior pode-se concluir que:

1 - Partindo de um pequeno magnetismo residual e em velocidade de rotação nominal, o gerador experimenta um fenômeno de escorvamento quando liga-se aos seus terminais um banco adequado de capacitores. Nestas condições, a tensão nominal a vazio é atingida em 500 ms.

2 - Com o gerador escorvado, a aplicação de carga resistiva nominal, com excitação fixa em seu valor mínimo, provoca uma queda de 30% da tensão nos terminais do gerador. Esta queda de tensão processa-se em 400 ms.

3 - Nas condições do item 2, a variação da excitação do seu valor mínimo ($\beta = 80^\circ$) para seu valor máximo ($\beta = 10^\circ$) provoca um crescimento da tensão nos terminais do gerador. O valor máximo é atingido após 300 ms e corresponde a 475 volts.

A tensão nominal é atingida, nestas condições, em 21 ms, ou seja em pouco mais de um ciclo de 60 Hz.

Levando-se em conta que a tensão levou 400 ms para cair de

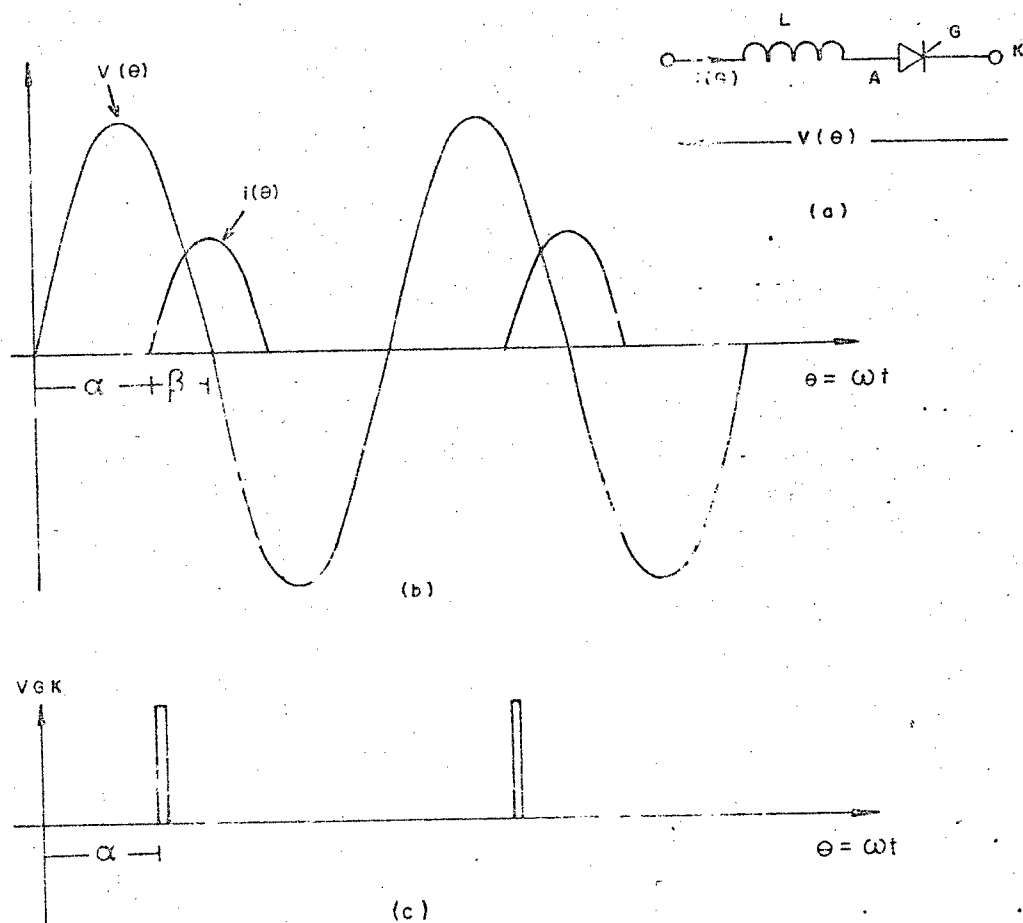
30% do valor nominal e que a partir deste ponto bastaram 20 ms para reestabelecê-la mediante uma ação sobre o dispositivo de excitação, conclui-se que o dispositivo apresenta boas possibilidades de regulação automática.

Os resultados da simulação oferecem subsídios para a identificação de um modelo linear aproximado a partir do qual seria possível estabelecer um controle em malha fechada da excitação da máquina.

O prosseguimento do trabalho consistiria em implementar um protótipo de laboratório que contasse com um controle de excitação em malha fechada. Este controle deveria ser introduzido no modelo de simulação.

APÊNDICE

O tiristor permite a passagem unidirecional da corrente a partir do instante em que é aplicado um pulso de disparo ao seu gatilho, uma vez que o mesmo conduza só retornará ao estado de não condução quando a corrente que o percorre for inferior a sua corrente de manutenção ⁽¹⁶⁾



$$i(\theta) = \frac{1}{\omega L} \int V(\theta) d\theta$$

$$\text{com } \theta = \omega t$$

$$\omega = 2\pi f$$

Se $V(\theta) = V_M \text{ sen } \theta$

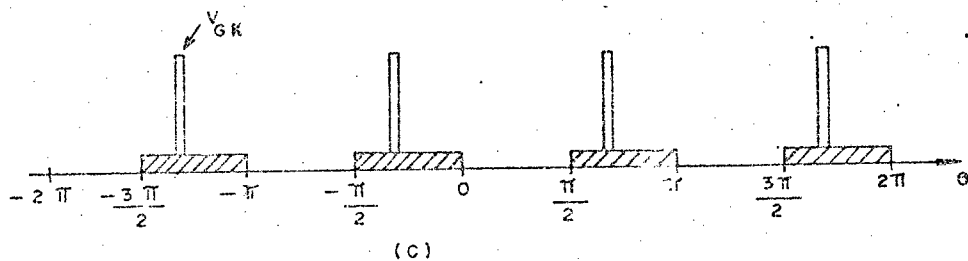
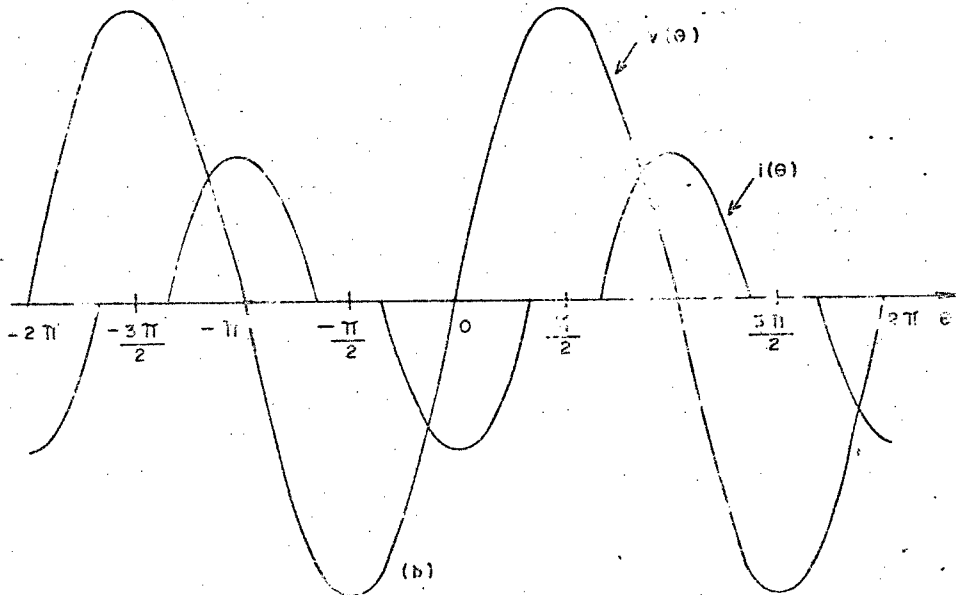
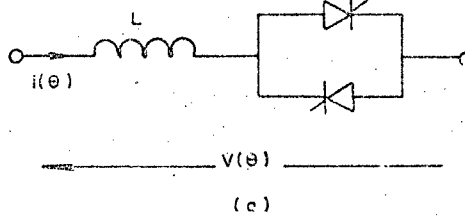
então

$$i(\theta) = \frac{V_M}{\omega_L} (\cos \alpha - \cos \theta) \quad \text{se } \alpha \leq \theta \leq 2\pi - \alpha$$

ou

$$i(\theta) = -\frac{V_M}{\omega_L} (\cos \beta + \cos \theta) \quad \text{se } \pi - \beta \leq \theta \leq \pi + \beta$$

A corrente controlada por tiristores em antiparalelo com ângulos de meia condução entre θ e $\pi/2$ rds., como mostram as figuras a seguir.



Zonas de disparo

Na figura (c) acima são mostradas as zonas de disparo permissíveis, caso o ângulo de disparo não esteja nas regiões indicadas aparecerá uma componente contínua no indutor já que ocorrerá condução em apenas um dos tiristores.

Entretanto em casos práticos é interessante limitar um pouco mais a zona de disparo principalmente devido ao erro de fase que pode ocorrer na detenção da tensão da rede.

Determina-se a seguir, a decomposição do sinal de corrente em série de Jauvier

$$i(\theta) = I_0 + \sum_{n=1}^{\infty} I_n \cos n\theta + \sum_{n=1}^{\infty} I_n \sin n\theta$$

O ângulo de meia condução dos tiristores são iguais (ver figura), então:

$$I_0 = 0$$

$$I'_n = 0$$

pois

$$i(\theta) = i(-\theta)$$

Além disso a corrente apresenta a prioridade.

$$i(\theta) = i(\theta + \pi)$$

logo as harmônicas fases são nulas, isto é

$$I_{2n} = 0$$

A componente fundamental da corrente é determinado a partir de:

$$I_1 = \frac{2}{\pi} \int_0^{\pi} i(\theta) \cos \theta \, d\theta$$

com

$$i(\theta) = - \frac{V_M}{\omega_L} (\cos \theta - \cos \beta) \quad -\beta \leq \theta \leq \beta$$

$$i(\theta) = - \frac{V_M}{\omega_L} (\cos \theta + \cos \beta) \quad \pi - \beta \leq \theta \leq \pi + \beta$$

onde

$$I_1 = - \frac{V_M}{\pi \omega_L} (2\beta - \sin 2\beta)$$

BIBLIOGRAFIA

- 1 - E. D. BASSETT, e F. M. POTTER, "Capacitive Excitation for Induction Generators", Electrical Engineering (AIEE Transaction) - Fevereiro de 1938.
- 2 - A. E. FITZGERALD, e C. KINGSLEY JR, "Electric Machinery" Mc Graw-Hill Company, INC - Segunda Edição, 1961.
- 3 - B. C. DOXEY, "Theory And Application of The Capacitor - Excited Induction Generator", The Engineering - Novembro de 1963 - Págs. 893 - 897.
- 4 - P. C. KRAUSE, e C. H. THOMAS, "Simulation of Symmetrical Induction Machinery", IEEE Transactions on power apparatus and systems - Novembro de 1965 - Págs. 1038-1053.
- 5 - C. V. JONES, "The Unified Theory of Electrical Machines", London Butterworths, 1967.
- 6 - G. W. STAGG, e A. H. EL-ABIAD, "Computer Methods in Power System Analysis", Mc Graw-Hill Book Company, 1968.
- 7 - F. C. TRUTT, e E. A. FEDELYI, e R. E. HOPKINS, "Representation of The Magnetization Characteristic of DC Machines for Computer Use", IEEE Transactions on Power Apparatus and Systems, Março de 1968 - Págs. 665-669.
- 8 - G. REDDY, B. E. M. TECH, A. M. ALI, e C. V. JONES, "Computer-Aided Analysis of Saturated Systems", Proc. IEE, Dezembro de 1971, Págs. 1791-1799.
- 9 - G. ROJAT, "Machine Synchrone Autopilotée Alimentée par un Convertisseur Statique a Commutation Assistée", Tese de Docteur De Spécialité, Université Paul Sabatier de Toulouse (França), 1974.

- 10 - LANGSDORF, "Teoria De Las Maquinas De Corriente Alterna",
Libros Mc Graw-Hill, 1977.
- 11 - P. M. ANDERSON, e A. A. FOUAD, "Power System Control And
Stability" The Iowa State University Press, Ames, Iowa,
U.S.A., 1977.
- 12 - A. E. HAMMAD, e R. M. MATHUR, "A New Generalized Concept
For The Design of Thyristor Phase-Controlled Var Compensators
Part I: Steady State Performance", IEEE Transactions on
Power Apparatus and Systems, Jan./Feb. de 1979 - Págs. 219-
226.
- 13 - R. M. MATHUR, e A. E. HAMMAD, "A New Generalized Concept
For The Design of Thyristor Phase-Controlled Var Compensators
Part II: Transient Performance", IEEE Transactions on Power
Apparatus and Systems, Jan./Feb. de 1979 - Págs. 227-231.
- 14 - D. B. WATSON, J. ARRILLAGA, e T. DENSEN, "Controllable D.C.
Power Supply From Wind-Driven Self-Excited Induction Machines",
Proc. IEE Dezembro de 1979, Págs. 1245-1248.
- 15 - M. C. SCHNEIDER, "Compensador Estático de Energia Reativa e
de Desequilíbrios de uma Instalação Trifásica", Dissertação
de Mestrado, UFSC, Março de 1980.
- 16 - F. P. CALDAS, "Um Estado do Gerador de Indução Autoexcitado
e Aplicações", Dissertação de Mestrado, COPPE UFRJ, Agosto
de 1980.
- 17 - R. CARLSON e M. C. SCHNEIDER, "Aproveitamento de Mini-Que-
das d'Água Utilizando Geradores de Indução Excitados por
Compensador Estático", Anais do II Congresso Brasileiro de
Energia, Rio de Janeiro, Abril de 1981.

- 18 - F. P. MELLO, e L. N. HANNETT, "Large Scale Induction Generators For Power Systems", IEEE Transactions On Power Apparatus And Systems, Maio de 1981, Págs. 2610-2617.
- 19 - S. CARNEIRO JR., e F. P. CALDAS, "Utilização do Gerador de Indução em Usinas Hidroelétricas de Pequeno Porte", VI Seminário Nacional de Produção e Transmissão de Energia Elétrica, Balneário Camboriú - SC, Outubro de 1981.
- 20 - R. CARLSON e M. C. SCHNEIDER, "Aproveitamento de Mini-Que-das d'Água Utilizando Geradores de Indução Auto-Excitados", II Seminário Nacional de Produção e Transmissão de Energia Elétrica, Balneário Camboriú-SC, Outubro de 1981.